

フレア予測

草野完也

名古屋大学太陽地球環境研究所
総合解析部門

▪

独立行政法人海洋研究開発機構
階層システム研究チーム

Outlook

- 太陽活動予測の重要性
- フレア予測は何をすべきか？
- フレア予測の方法と課題
 - 学習アルゴリズム、物理アルゴリズム
 - シミュレーションモデル
- 今後何をすべきか？

太陽活動予測の重要性

- 爆発的太陽活動の予測

- フレア予測、SEP予測、CME予測、太陽風予測

Cycle 24で実現！！

- 太陽黒点活動予測

- 太陽周期活動の予測、グランドミニマの発生予測

Cycle 30までには実現！！

宇宙天気予報、宇宙気候予測

太陽地球環境変動原因の理解のため

科学的理解度の検証

フレア予測は何を予測すべきか？

- いつ
 - 3日前、24時間前、1時間前、5分前
- どこで
 - どの活動領域、活動領域のどの部分
- 何をどれほど
 - GOES X-ray クラス
 - CME
 - SEP
 - 磁気嵐

フレア予測の方法 1

■ 学習アルゴリズム

- Automated Solar Activity Prediction:
 - Space Weather Prediction Center
 - Colak & Qahwaji 2009

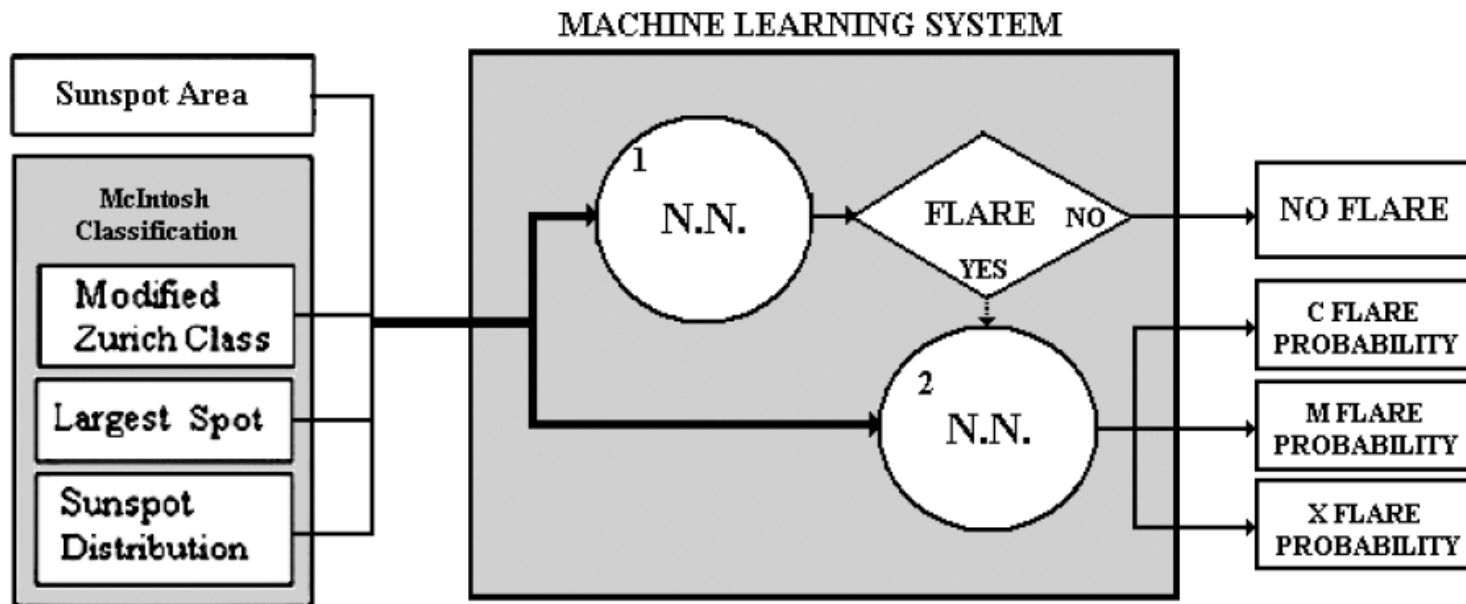


Figure 2. Machine-learning system for flare prediction.

is the degree of compactness in the interior of the group. Figure 1 illustrates the sequence within each of the three components of the classification. Table I lists the logical sequence for determining the McIntosh classification.

The definitions are formulated to require only white-light observations in the interest of consistency among all synoptic observatories. The definitions must begin with the distinction between unipolar and bipolar groups, implying a difference in a magnetic

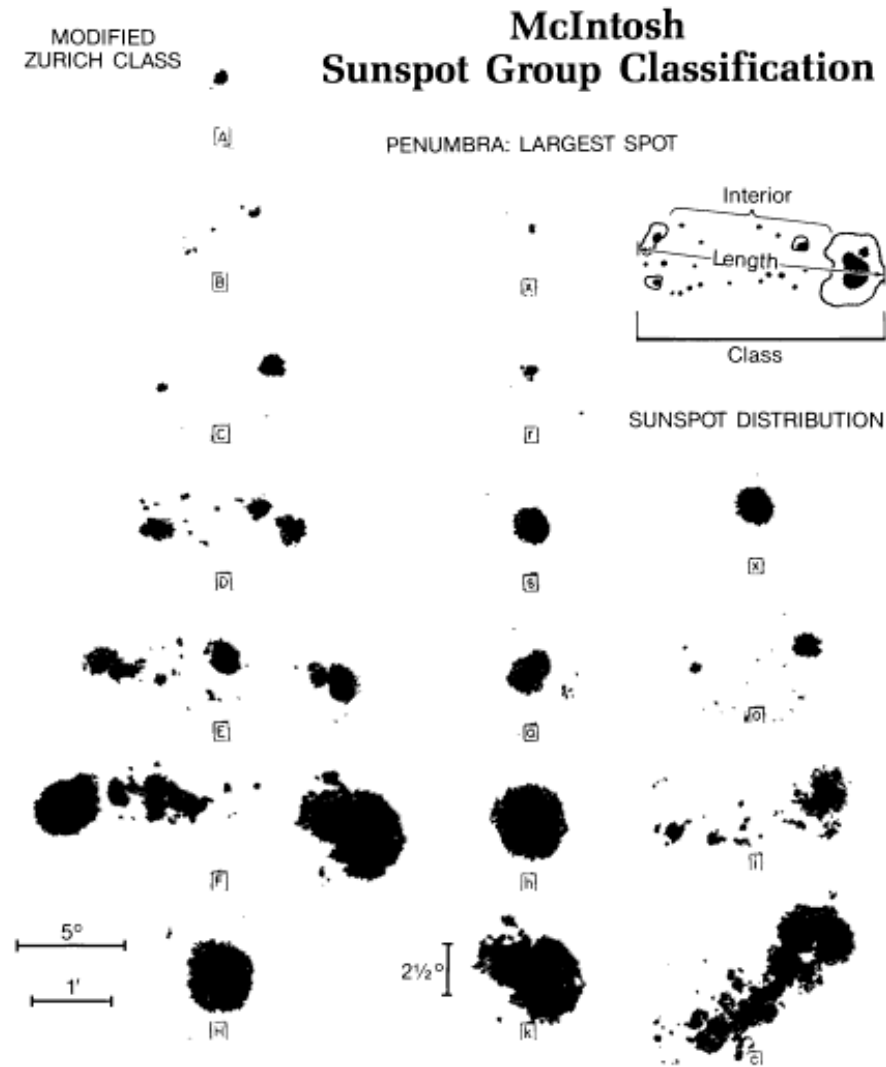


Fig. 1. The 3-component McIntosh classification, with examples of each category.

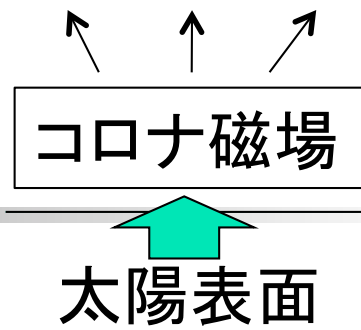


- Event Probabilities 19 Jan-21 Jan
 - Class M 10/10/10 Class X 01/01/01 Proton 01/01/01

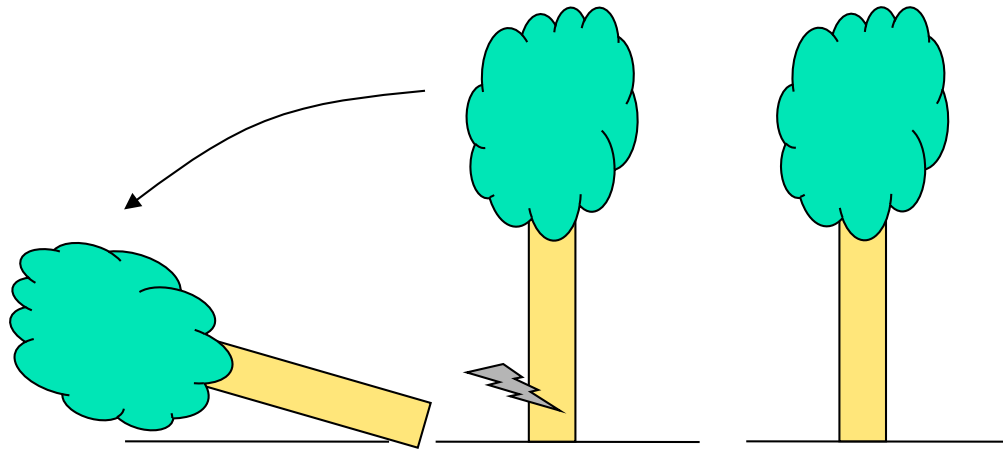
- Skill for X flare:

1day	2day	3day	year (events)
0.112	-0.147	-0.171	2006 (4)
0.242	0.147	0.127	2005 (13)
0.052	-0.001	-0.044	2004 (9)
0.200	0.093	0.076	2003 (17)
-0.037	-0.050	-0.033	2002 (12)
-0.061	-0.034	-0.006	2001 (18)

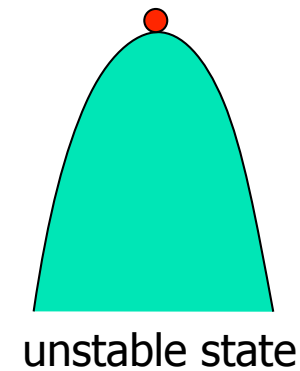
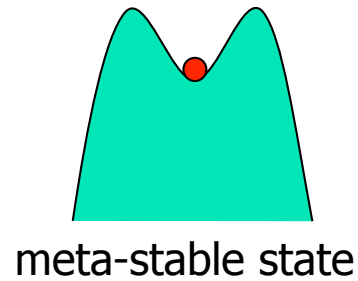
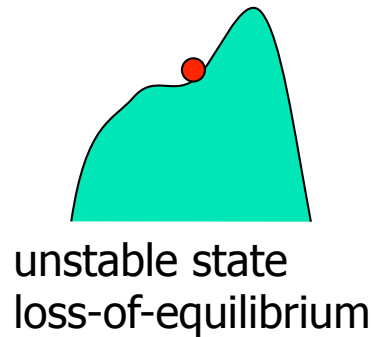
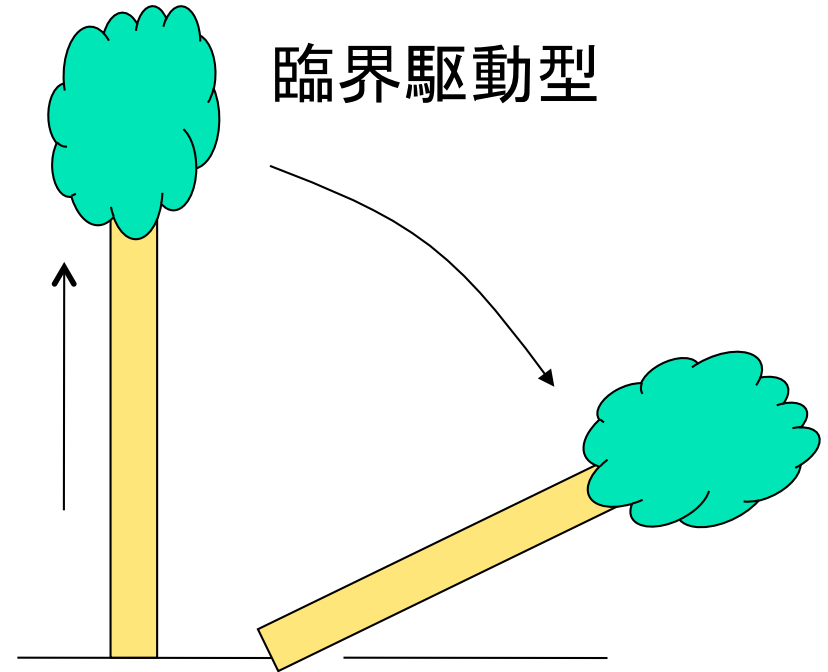
突発現象の発生機構



トリガ駆動型



臨界駆動型



フレア予測の方法 2

■ 物理的予測アルゴリズム

- フレア発生に関係する物理量を発見的方法で見出す。例: Leka & Barnes 2007, Yamamoto & Sakurai 2000

TABLE 1
PARAMETERS USED IN THE DISCRIMINANT ANALYSIS

Description	Formula	Variable
Atmospheric Seeing		
Median of the granulation contrast	$s = \text{median}(\Delta I)$	s
Distribution of Magnetic Fields		
Moments of vertical magnetic field.....	$B_z = \mathbf{B} \cdot \mathbf{e}_z$	$\mathcal{M}(B_z)$
Total unsigned flux	$\Phi_{\text{tot}} = \sum B_z dA$	Φ_{tot}
Absolute value of the net flux.....	$ \Phi_{\text{net}} = \sum B_z dA $	$ \Phi_{\text{net}} $
Moments of horizontal magnetic field	$B_h = (B_x^2 + B_y^2)^{1/2}$	$\mathcal{M}(B_h)$
Distribution of Inclination Angle		
Moments of inclination angle.....	$\gamma = \tan^{-1}(B_z/B_h)$	$\mathcal{M}(\gamma)$
Distribution of the Magnitude of the Horizontal Gradients of the Magnetic Fields		
Moments of total field gradients	$ \nabla_h B = [(\partial B/\partial x)^2 + (\partial B/\partial y)^2]^{1/2}$	$\mathcal{M}(\nabla_h B)$
Moments of vertical field gradients.....	$ \nabla_h B_z = [(\partial B_z/\partial x)^2 + (\partial B_z/\partial y)^2]^{1/2}$	$\mathcal{M}(\nabla_h B_z)$
Moments of horizontal field gradients	$ \nabla_h B_h = [(\partial B_h/\partial x)^2 + (\partial B_h/\partial y)^2]^{1/2}$	$\mathcal{M}(\nabla_h B_h)$

Distribution of Vertical Current Density

Moments of vertical current density	$J_z = C(\partial B_y/\partial x - \partial B_x/\partial y)$	$\mathcal{M}(J_z)$
Total unsigned vertical current	$I_{\text{tot}} = \sum J_z dA$	I_{tot}
Absolute value of the net vertical current.....	$ I_{\text{net}} = \sum J_z dA $	$ I_{\text{net}} $
Sum of absolute value of net currents in each polarity.....	$ I_{\text{net}}^B = \sum J_z(B_z > 0) dA + \sum J_z(B_z < 0) dA $	$ I_{\text{net}}^B $
Moments of vertical heterogeneity current density ^a	$J_z^h = C(b_y \partial B_x/\partial y - b_x \partial B_y/\partial x)$	$\mathcal{M}(J_z^h)$
Total unsigned vertical heterogeneity current.....	$I_{\text{tot}}^h = \sum J_z^h dA$	I_{tot}^h
Absolute value of net vertical heterogeneity current.....	$ I_{\text{net}}^h = \sum J_z^h dA $	$ I_{\text{net}}^h $

Distribution of Twist Parameter

Moments of twist parameter ^b	$\alpha = CJ_z/B_z$	$\mathcal{M}(\alpha)$
Best-fit force-free twist parameter ^b	$\mathbf{B} = \alpha_{\text{ff}} \nabla \times \mathbf{B}$	$ \alpha_{\text{ff}} $

Distribution of Current Helicity

Moments of current helicity ^c	$h_c = CB_z(\partial B_y/\partial x - \partial B_x/\partial y)$	$\mathcal{M}(h_c)$
Total unsigned current helicity	$H_c^{\text{tot}} = \sum h_c dA$	H_c^{tot}
Absolute value of net current helicity.....	$ H_c^{\text{net}} = \sum h_c dA $	$ H_c^{\text{net}} $

Distribution of Shear Angles

Moments of 3D shear angle ^d	$\Psi = \cos^{-1}(\mathbf{B}^p \cdot \mathbf{B}^o / B^p B^o)$	$\mathcal{M}(\Psi)$
Area with shear $> \Psi_0$, $\Psi_0 = 45^\circ, 80^\circ$	$A(\Psi > \Psi_0) = \sum_{\Psi > \Psi_0} dA$	$A(\Psi > 45^\circ), A(\Psi > 80^\circ)$
Moments of neutral line shear angle.....	$\Psi_{\text{NL}} = \cos^{-1}(\mathbf{B}_{\text{NL}}^p \cdot \mathbf{B}_{\text{NL}}^o / B_{\text{NL}}^p B_{\text{NL}}^o)$	$\mathcal{M}(\Psi_{\text{NL}})$
Length of neutral line with shear $> \Psi_0$	$L(\Psi_{\text{NL}} > \Psi_0) = \sum_{\Psi_{\text{NL}} > \Psi_0} dL$	$L(\Psi_{\text{NL}} > 45^\circ), L(\Psi_{\text{NL}} > 80^\circ)$
Moments of horizontal shear angle ^e	$\psi = \cos^{-1}(\mathbf{B}_h^p \cdot \mathbf{B}_h^o / B_h^p B_h^o)$	$\mathcal{M}(\psi)$
Area with horizontal shear $> \psi_0$	$A(\psi > \psi_0) = \sum_{\psi > \psi_0} dA$	$A(\psi > 45^\circ), A(\psi > 80^\circ)$

Distribution of Photospheric Excess Magnetic Energy Density

Moments of photospheric excess magnetic energy density ^d	$\rho_e = (\mathbf{B}^p - \mathbf{B}^o)^2 / 8\pi$	$\mathcal{M}(\rho_e)$
Total photospheric excess magnetic energy	$E_e = \sum \rho_e dA$	E_e

NOTES.—The $\mathcal{M}(x)$ denotes taking the first four moments of the distribution of the variable x : the mean \bar{x} , the standard deviation $\sigma(x)$, the skew $\zeta(x)$, and the kurtosis $\kappa(x)$. The C indicates physical constants that are included in the calculation but not listed here for clarity.

^a Zhang (2001).

^b Leka & Skumanich (1999).

^c Abramenko et al. (1996); Bao et al. (1999).

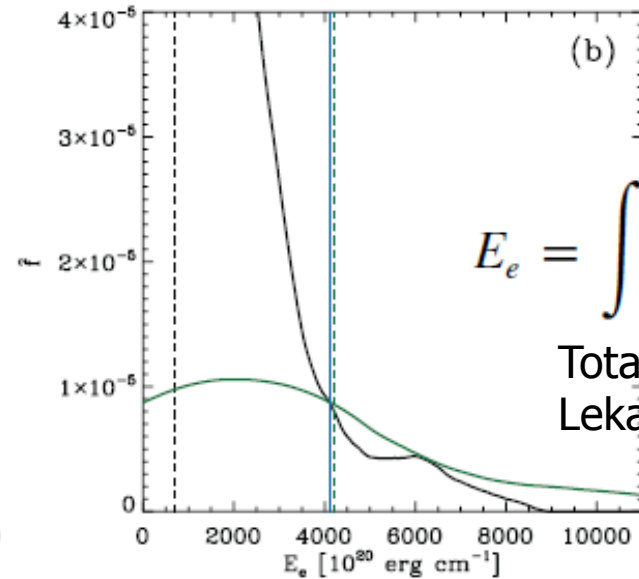
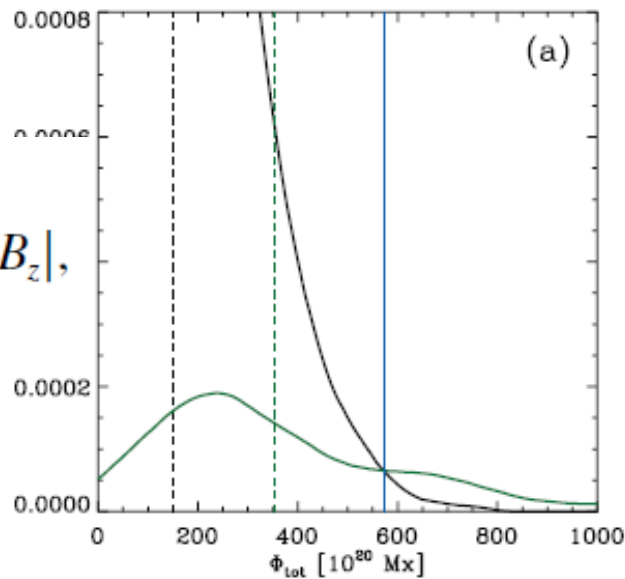
^d Wang et al. (1996).

^e Hagyard et al. (1984), although B_h is used here, rather than B_\perp .

Evaluating the performance of solar flare forecasting methods, Barnes and Leka 2008

(M&X class within 1d)

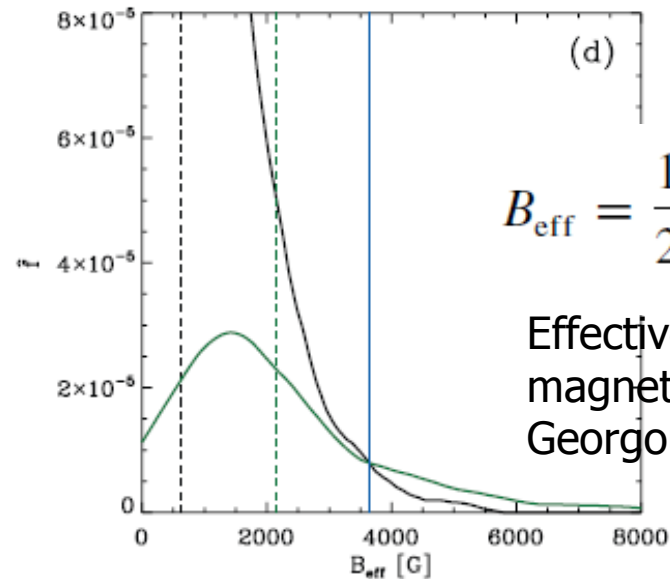
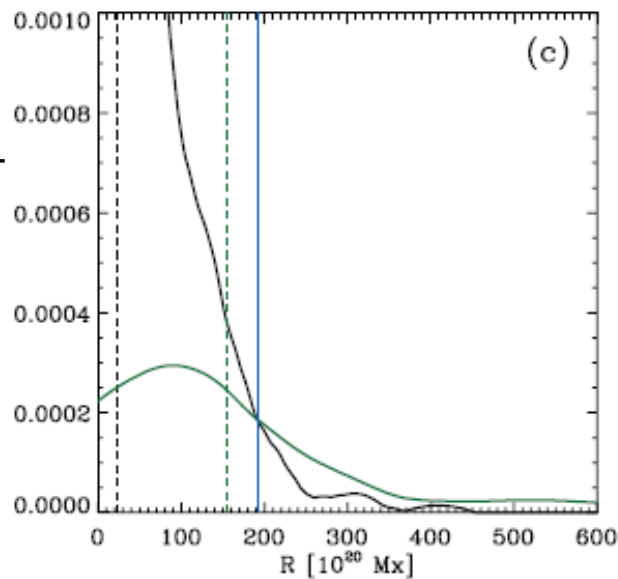
$$\Phi_{\text{tot}} = \int d^2x |B_z|,$$



$$E_e = \int d^2x (\mathbf{B} - \mathbf{B}_p)^2,$$

Total excess energy
Leka & Barnes 2003

R: unsigned flux over the high-gradient polarity-separation lines
Schrijver 2007



$$B_{\text{eff}} = \frac{1}{2} \sum_{i \neq j} \frac{\psi_{ij}}{|x_i - x_j|^2},$$

Effective connected magnetic field
Georgoulis & Rust 2007

TABLE 1
SUCCESS RATES AND SKILL SCORES FOR THE SAMPLE
PARAMETERS

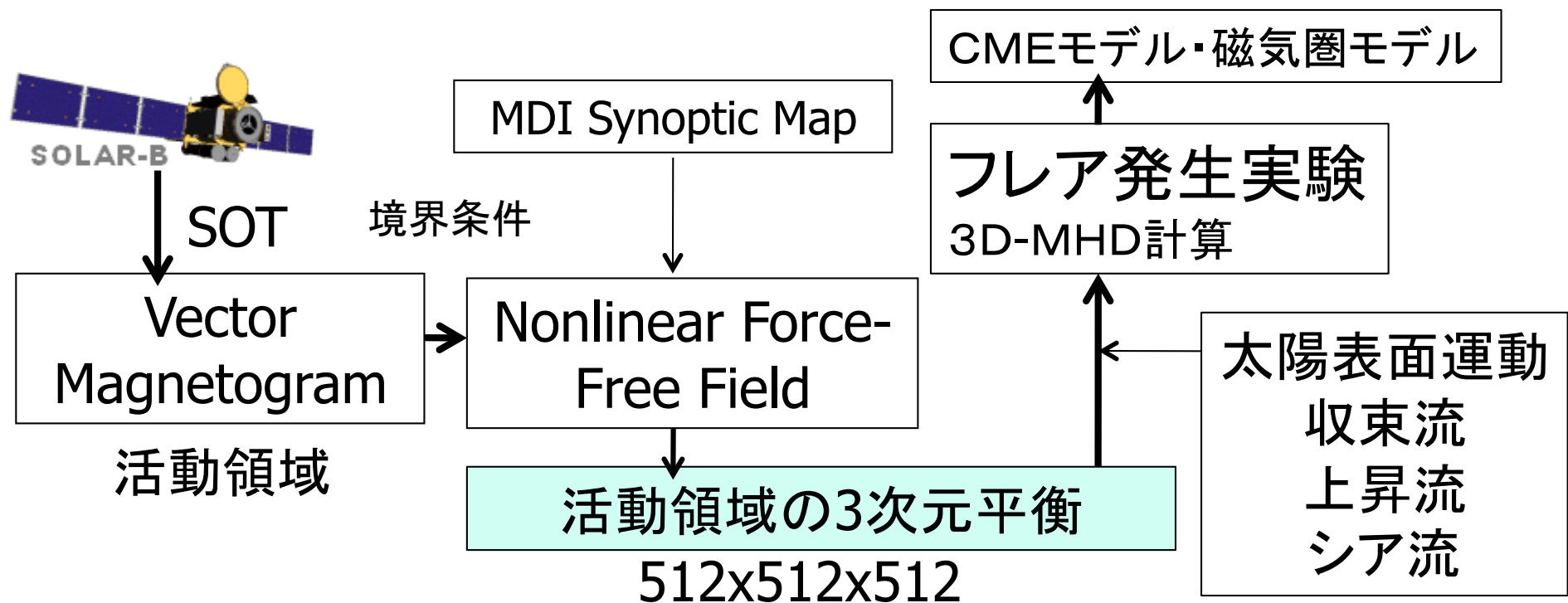
Parameter	Success Rate	Heidke Skill Score	Climatological Skill Score
Climatology	0.908	0.000	0.000
Φ_{tot}	0.922	0.153	0.197
E_e	0.916	0.081	0.231
R	0.922	0.144	0.242
B_{eff}	0.913	0.072	0.220

$$SS = \frac{n_{ff} - (n_q - n_{qq})}{n_f}$$

Wheatland (2005) 0.258
SWPC 0.262

フレア予測の方法3

■ 3次元数値モデル



NLFFモデルの問題

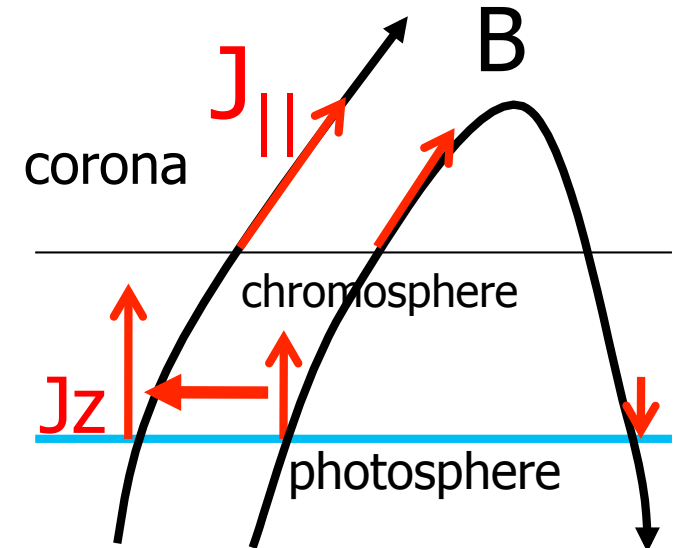
$$\nabla \times \mathbf{B} = \alpha \mathbf{B} \quad (\mathbf{B} \cdot \nabla \alpha = 0)$$

Relaxation

- magneto-friction
- zero- β MHD
- optimization

Grad-Rubin like method

Boundary
Integral method



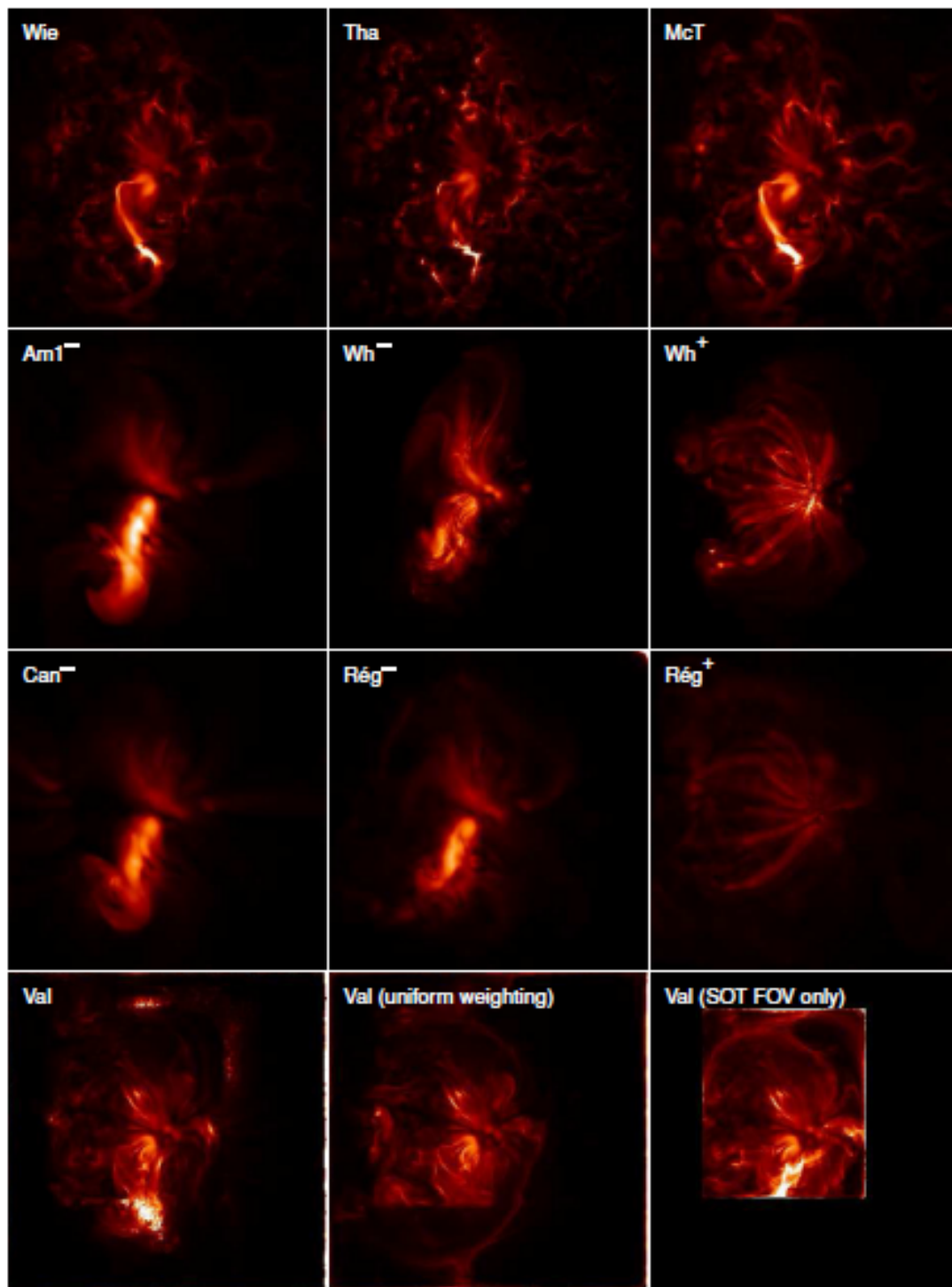
- Magnetofrictional method & div B cleaning
(Dedner et al. 2002)

$$\frac{\partial \mathbf{B}}{\partial t} = \nabla \times (\mathbf{V} \times \mathbf{B} - \eta \mathbf{J} - \nabla \varphi)$$

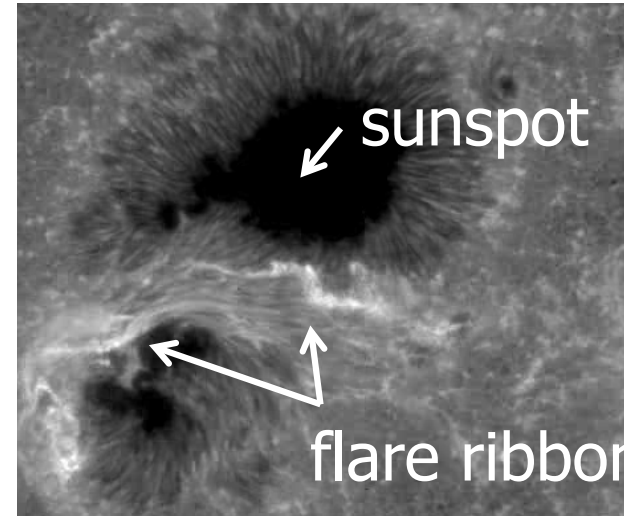
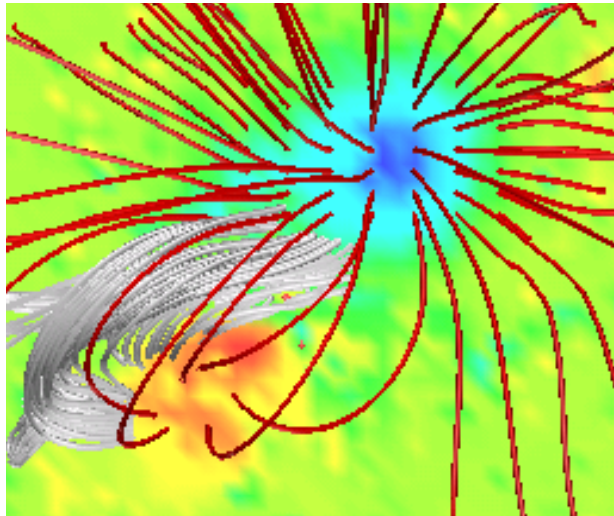
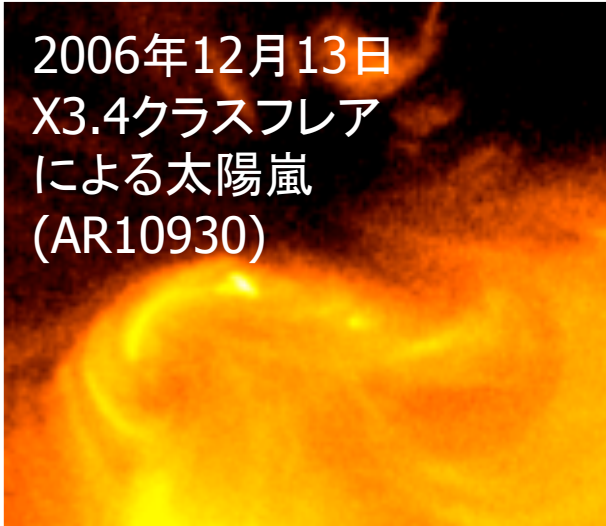
$$\frac{\partial \varphi}{\partial t} = -\sigma \nabla \cdot \mathbf{B} - \tau^{-1} \varphi$$

- multi-grid technique
- Parallelization with MPI
- 512x512x512 grids

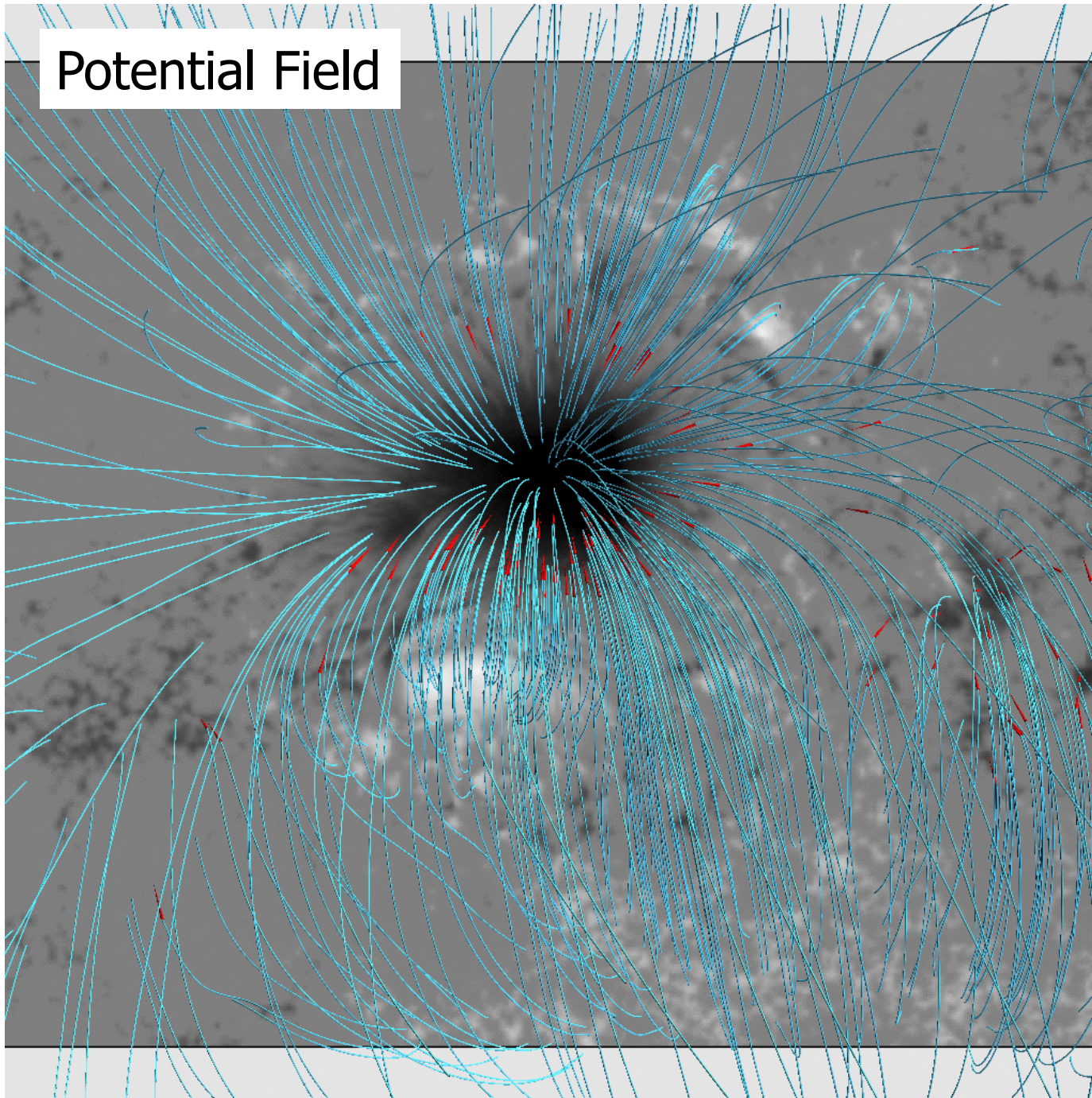
DeRosa et al.
2009



2006年12月13日
X3.4クラスフレア
による太陽嵐
(AR10930)

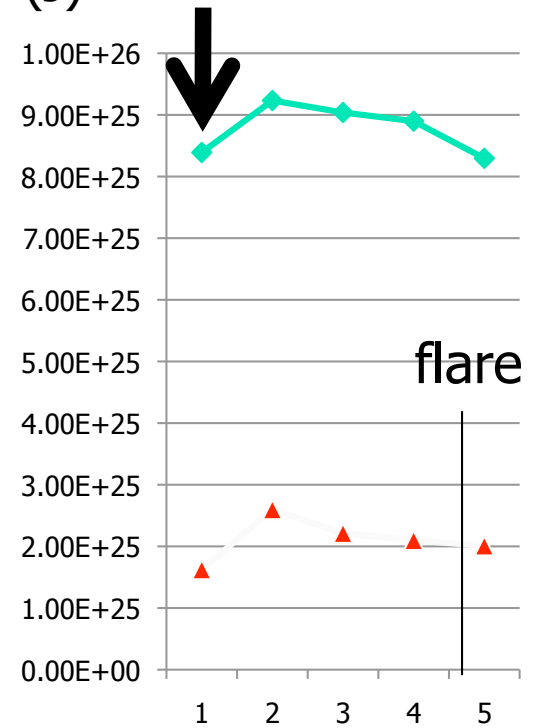


Potential Field



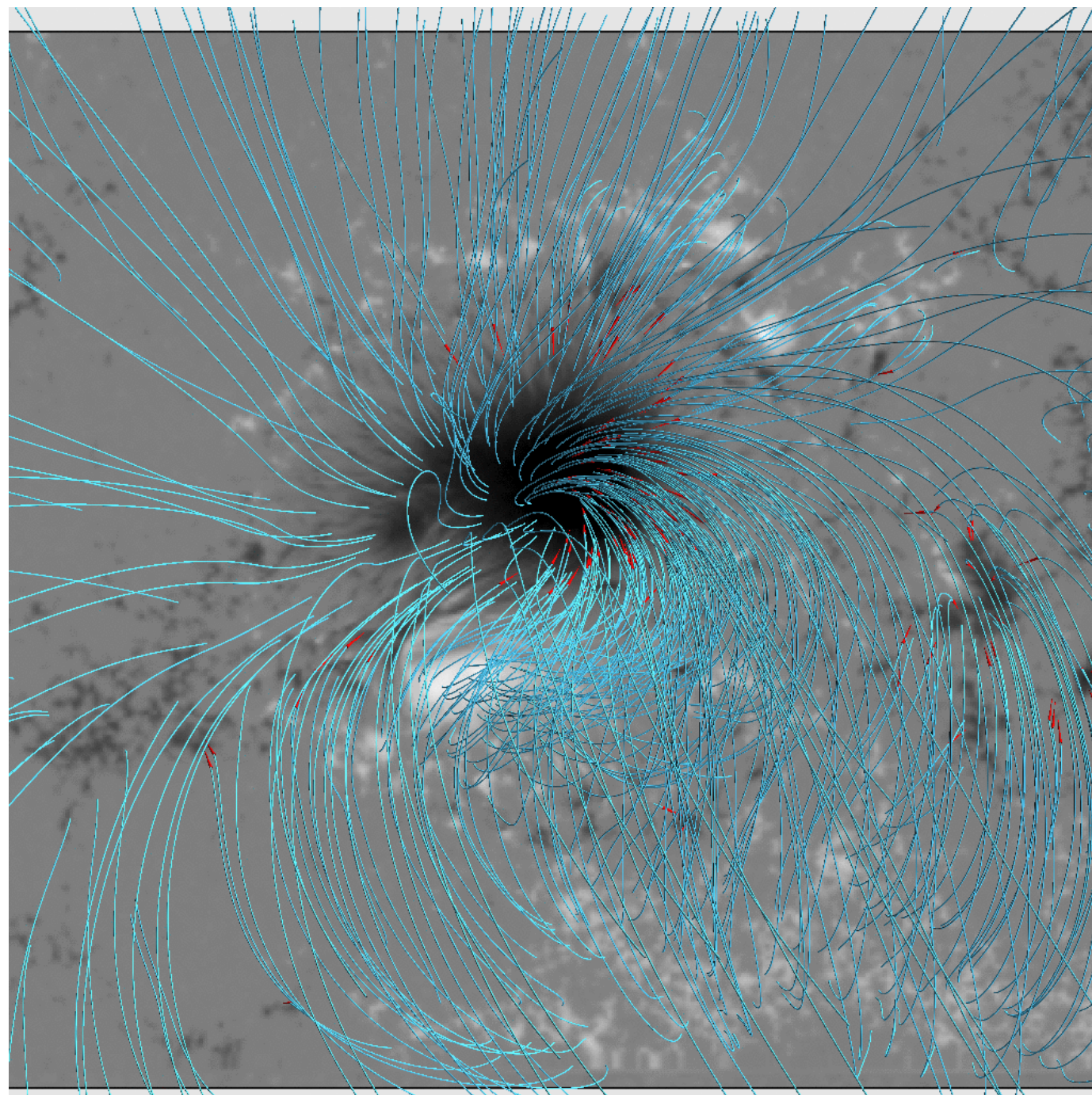
2006_12_11
17:00 UT

Total Magnetic Energy
Magnetic Free Energy
(J)

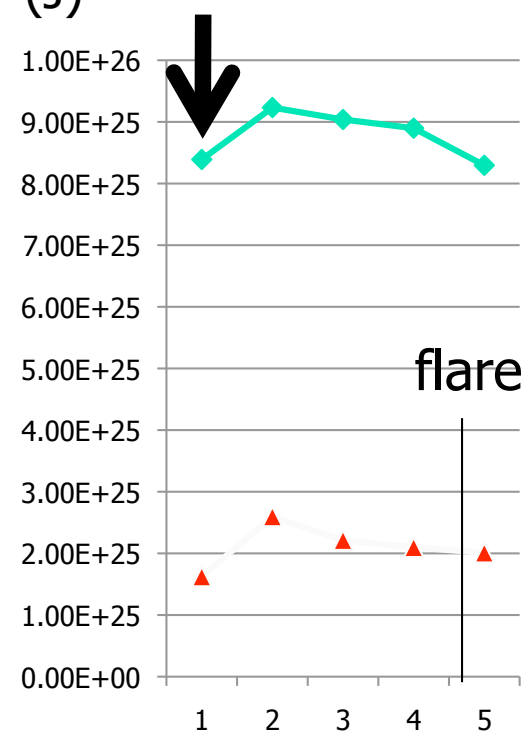


フレア発生 33時間前

2006_12_11
17:00 UT

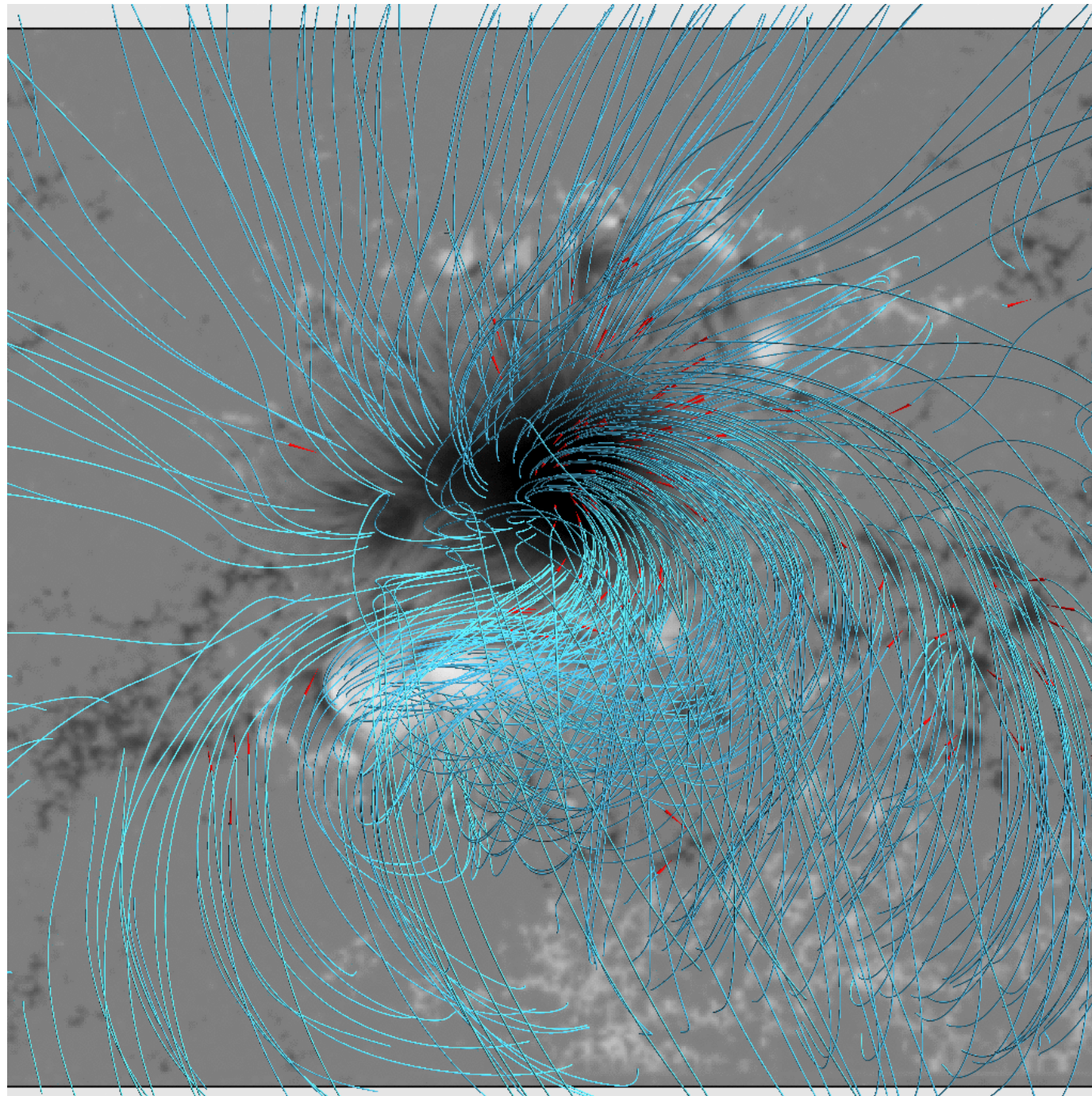


Total Magnetic Energy
Magnetic Free Energy
(J)

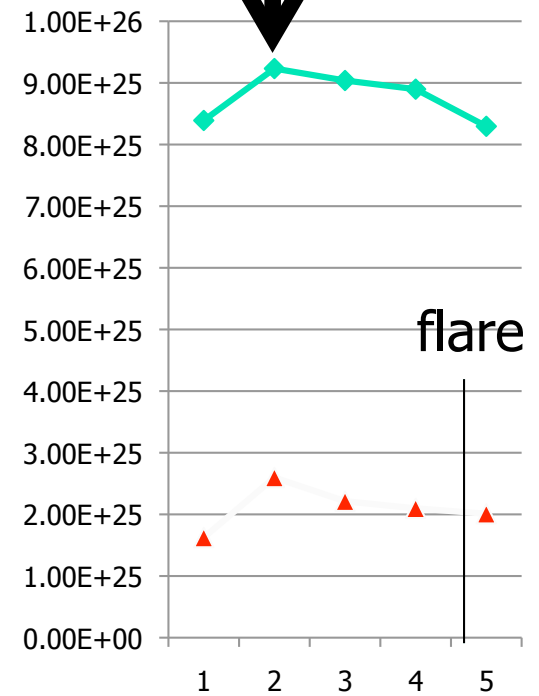


フレア発生
21時間前

2006_12_12
03:50 UT

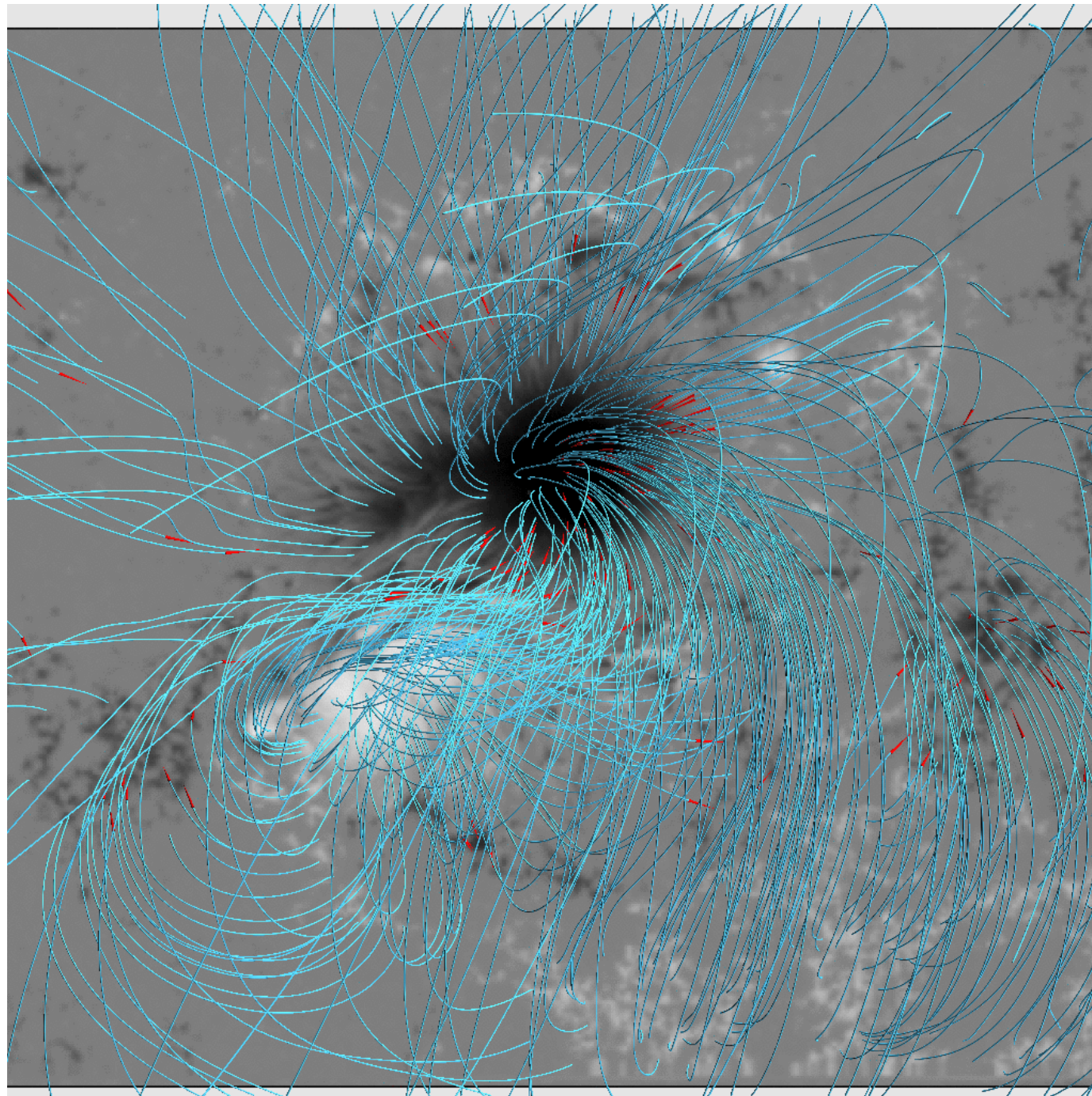


Total Magnetic Energy
Magnetic Free Energy
(J)

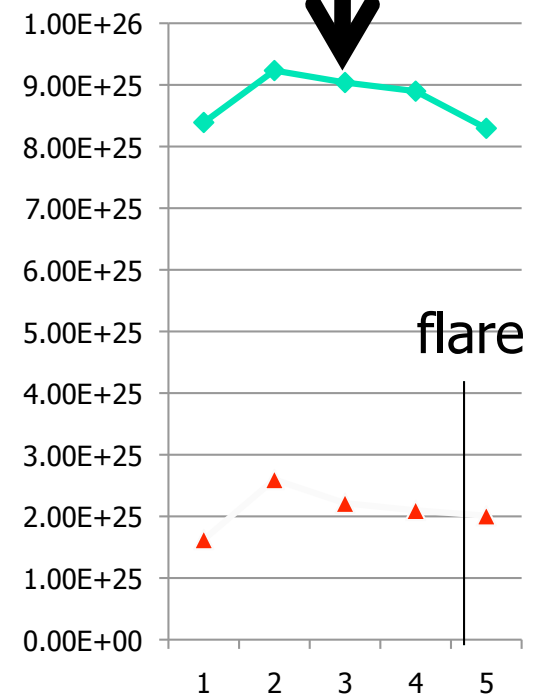


フレア発生
8時間前

2006_12_12
17:40 UT

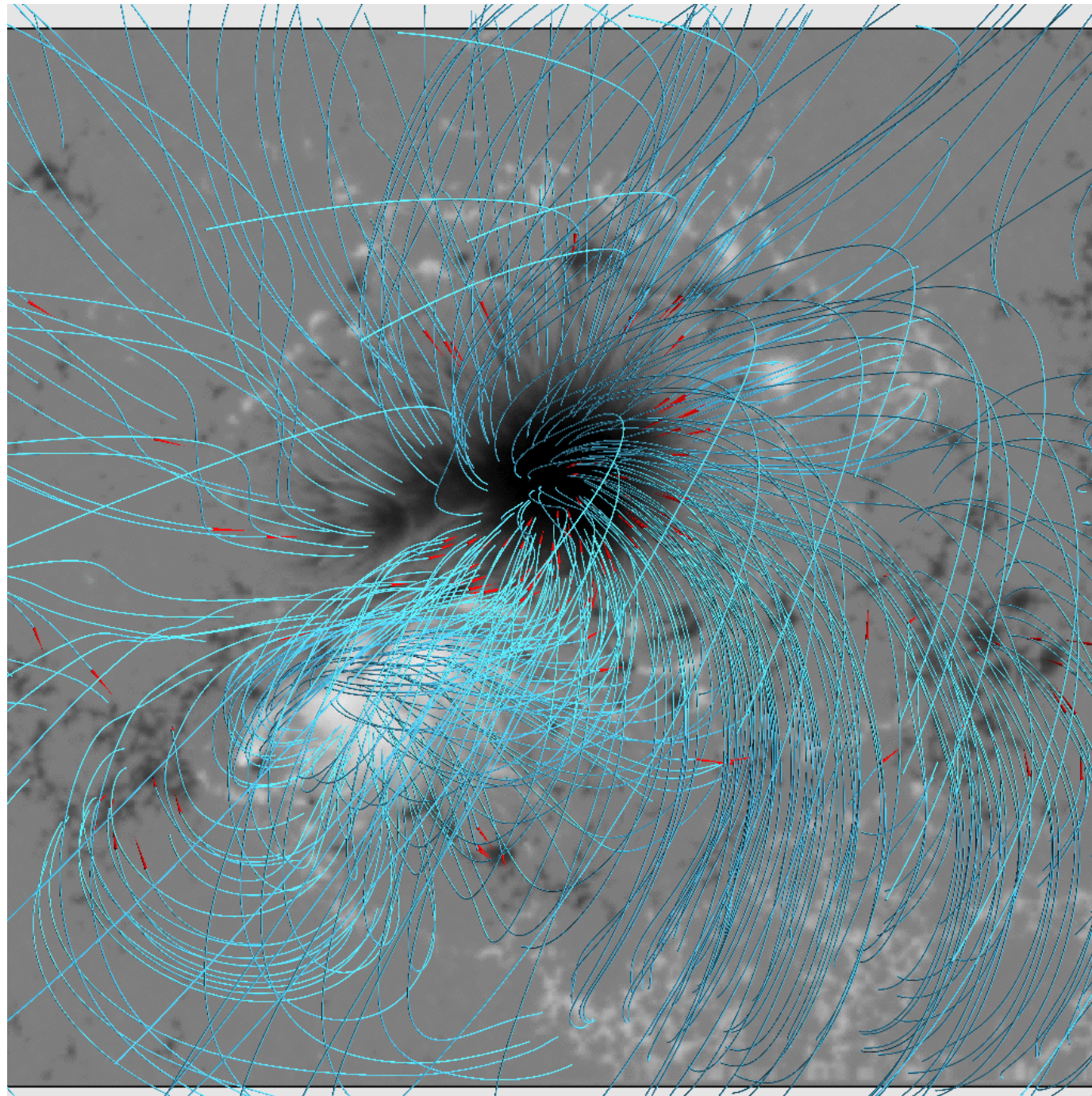


Total Magnetic Energy
Magnetic Free Energy
(J)

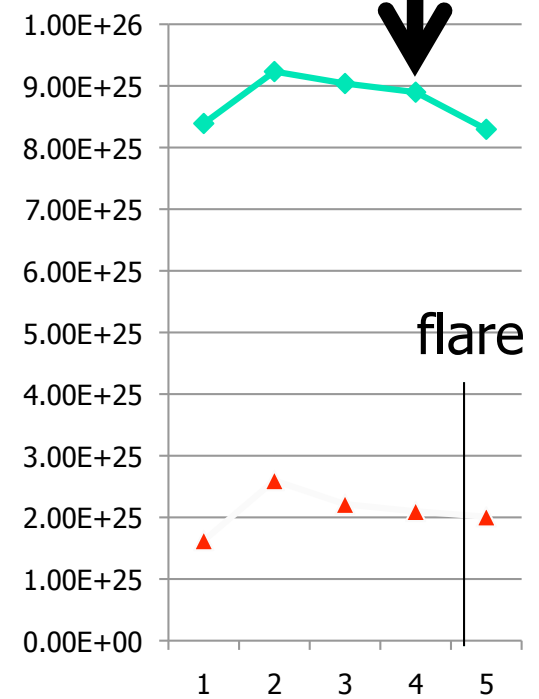


フレア発生
5時間前

2006_12_12
20:30 UT



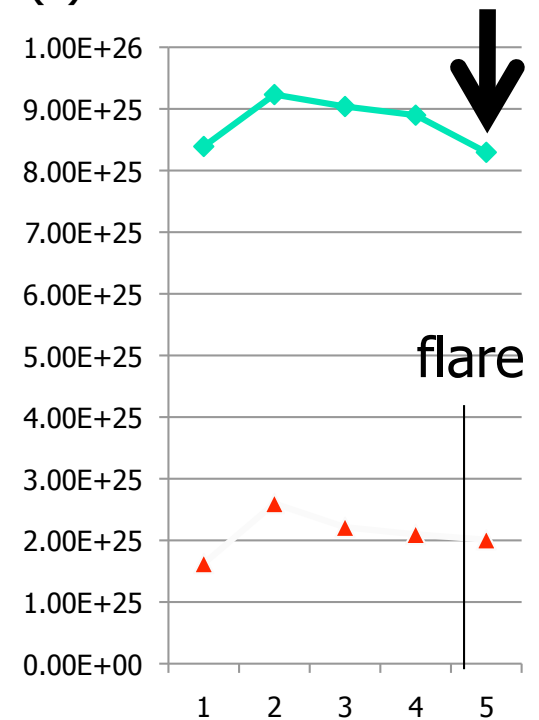
Total Magnetic Energy
Magnetic Free Energy
(J)



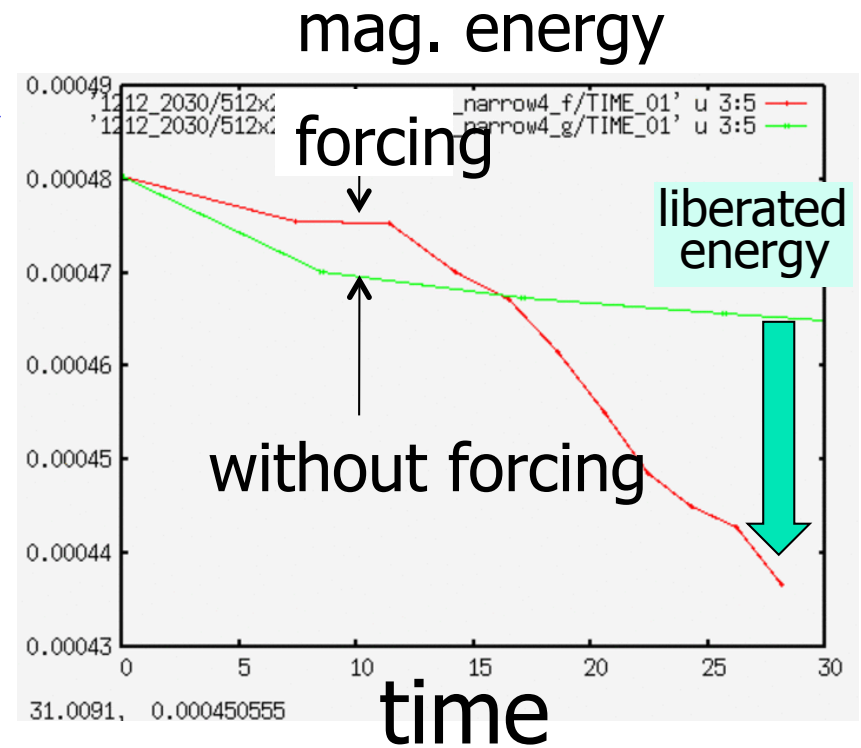
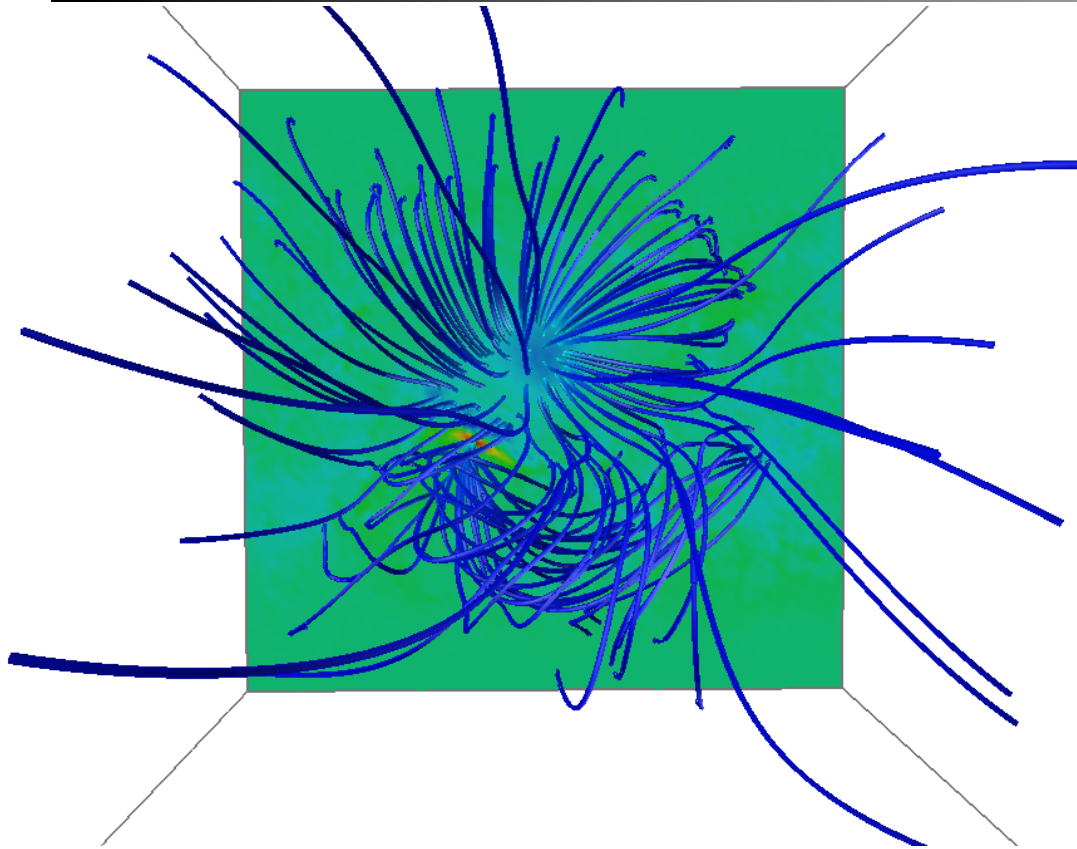
フレア発生 5時間後

2006_12_13
07:00 UT

Total Magnetic Energy
Magnetic Free Energy
(J)



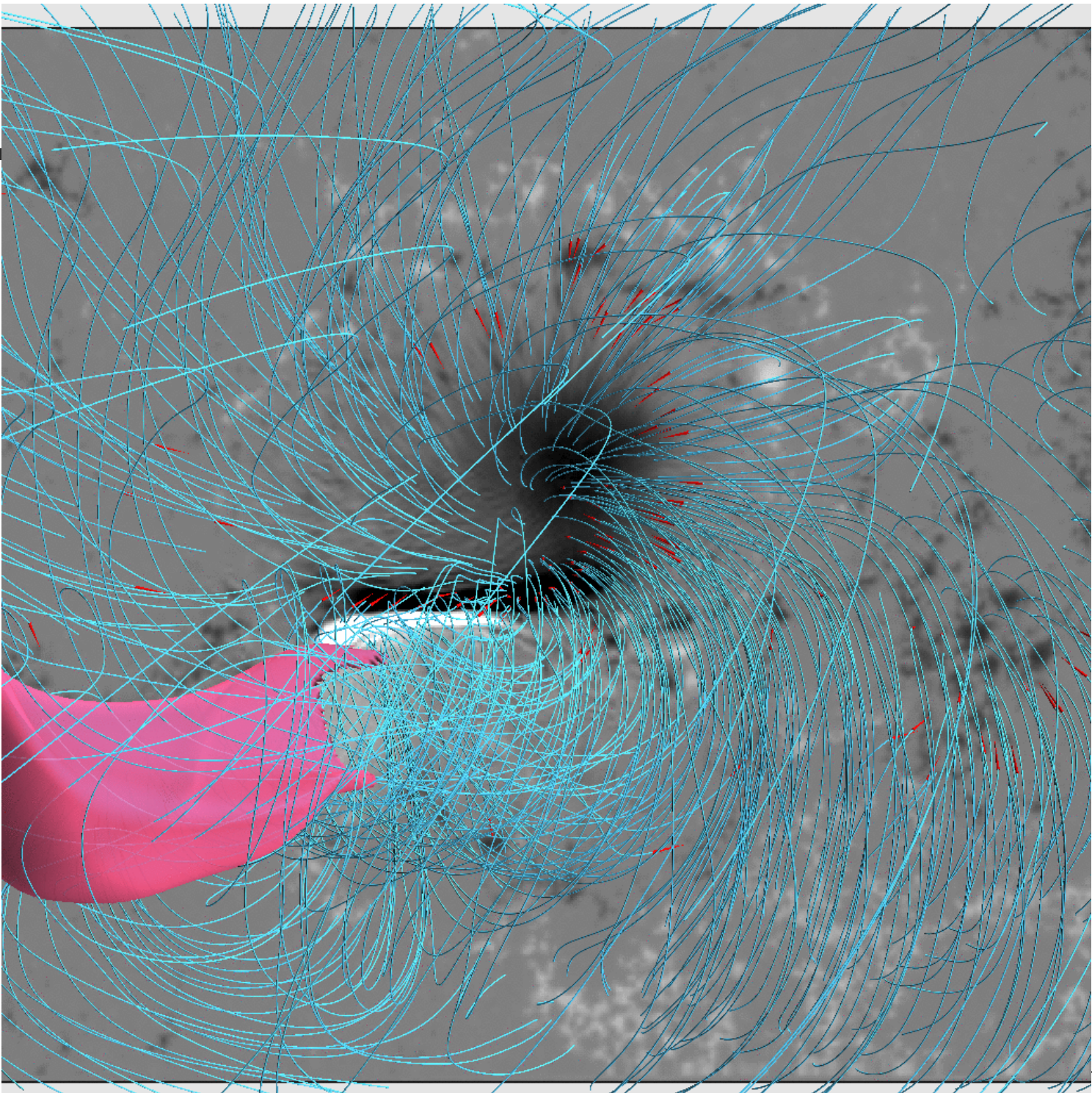
仮想的擾乱を加えたフレア実験



擾乱無しでは安定

収束流擾乱による不安定化

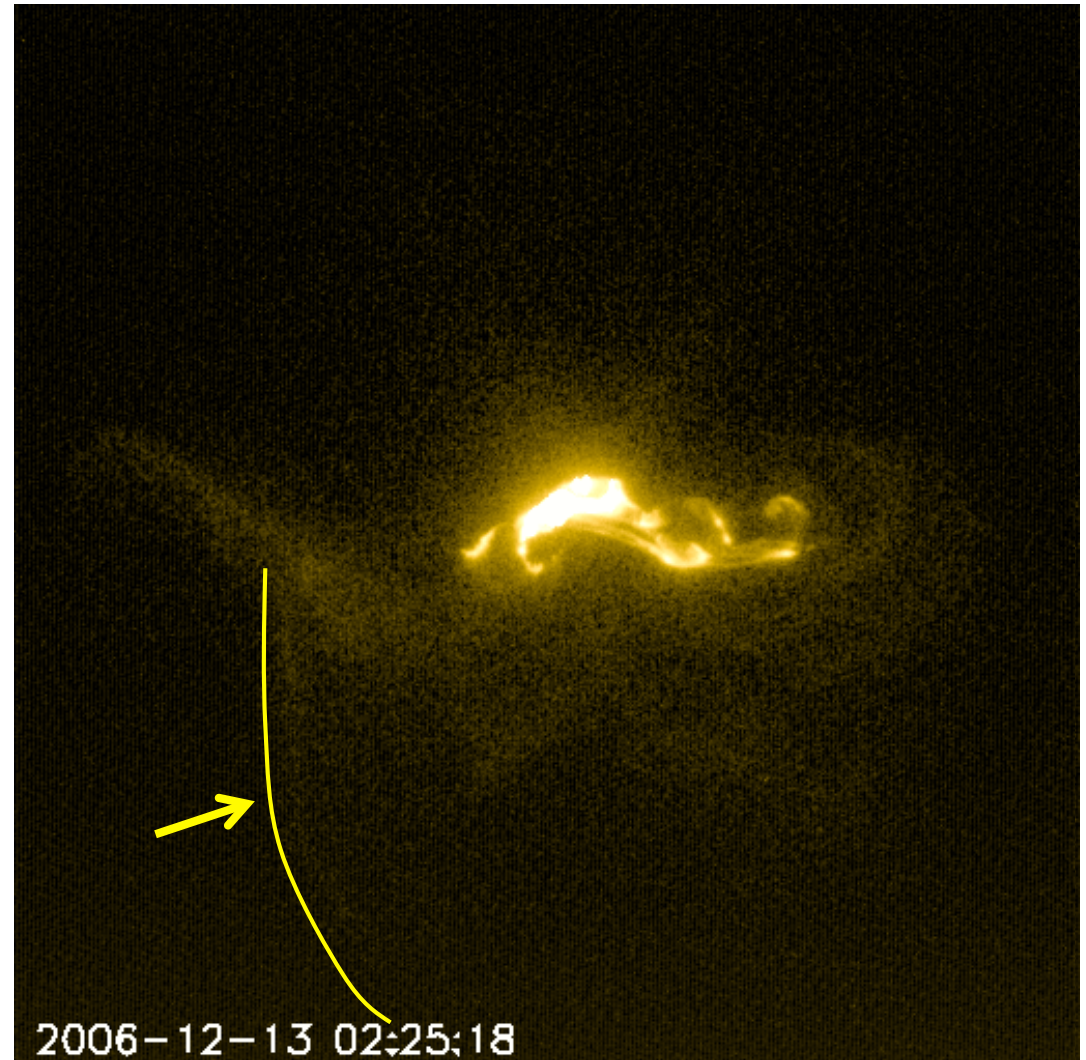
→ 最適な擾乱の発見によるフレア発生可能性の推測

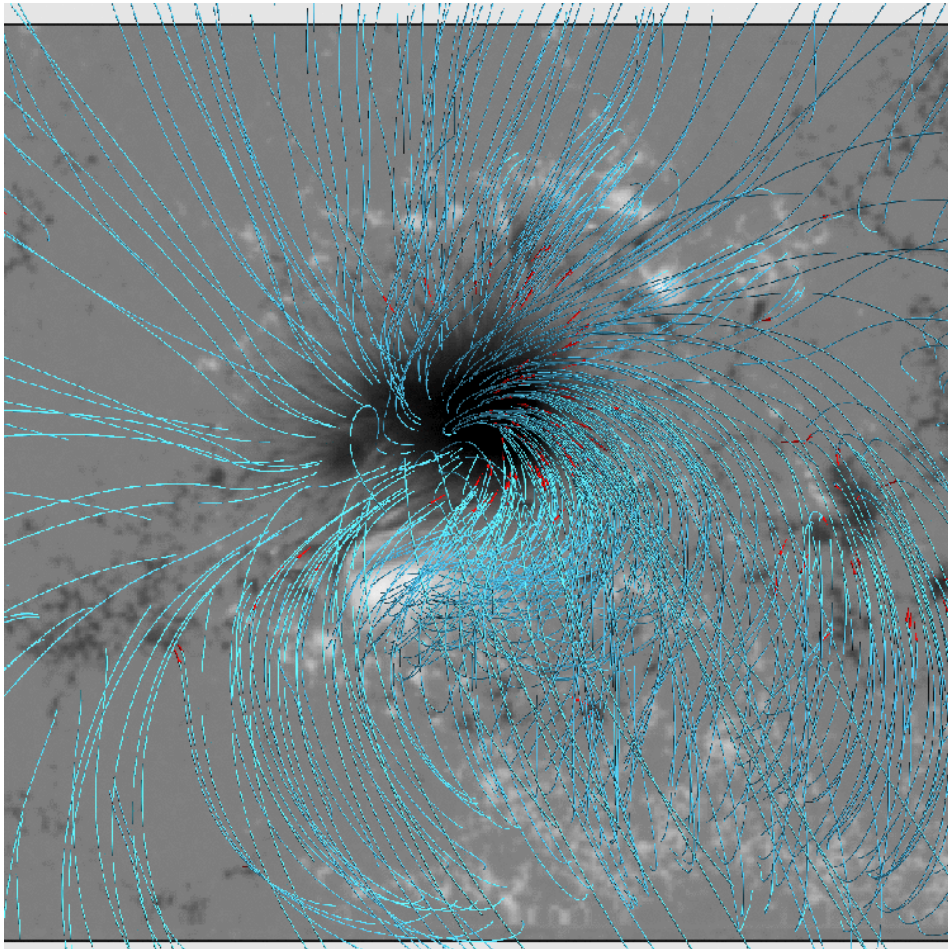


X-ray Ejections & X-ray Wave

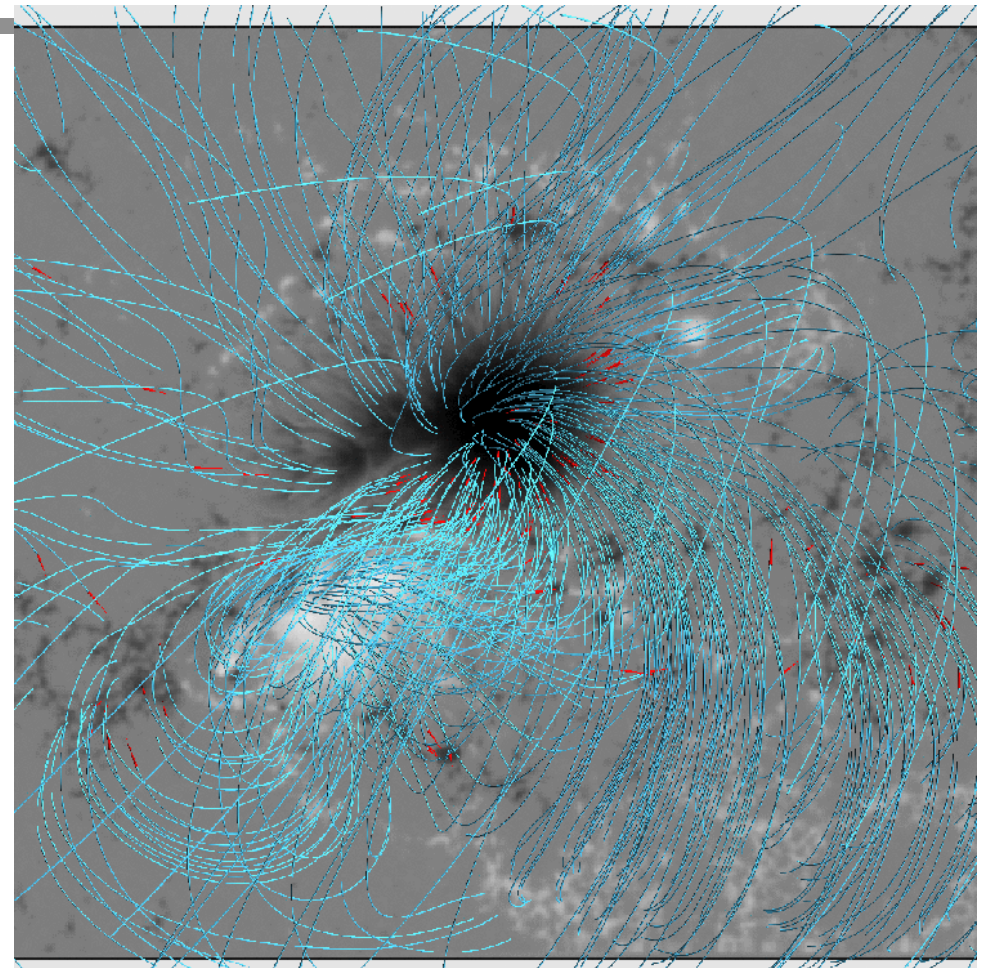
浅井さん提供

- A faint X-ray plasmoid is ejected from the sigmoid loop (02:18~02:22UT)
- $V_{pl} \sim 40-120$ km/s
- It disappears at 02:23UT
- X-ray wave-like phenomenon starts just after the disappearance
- $V_{wave} \sim 700$ km/s

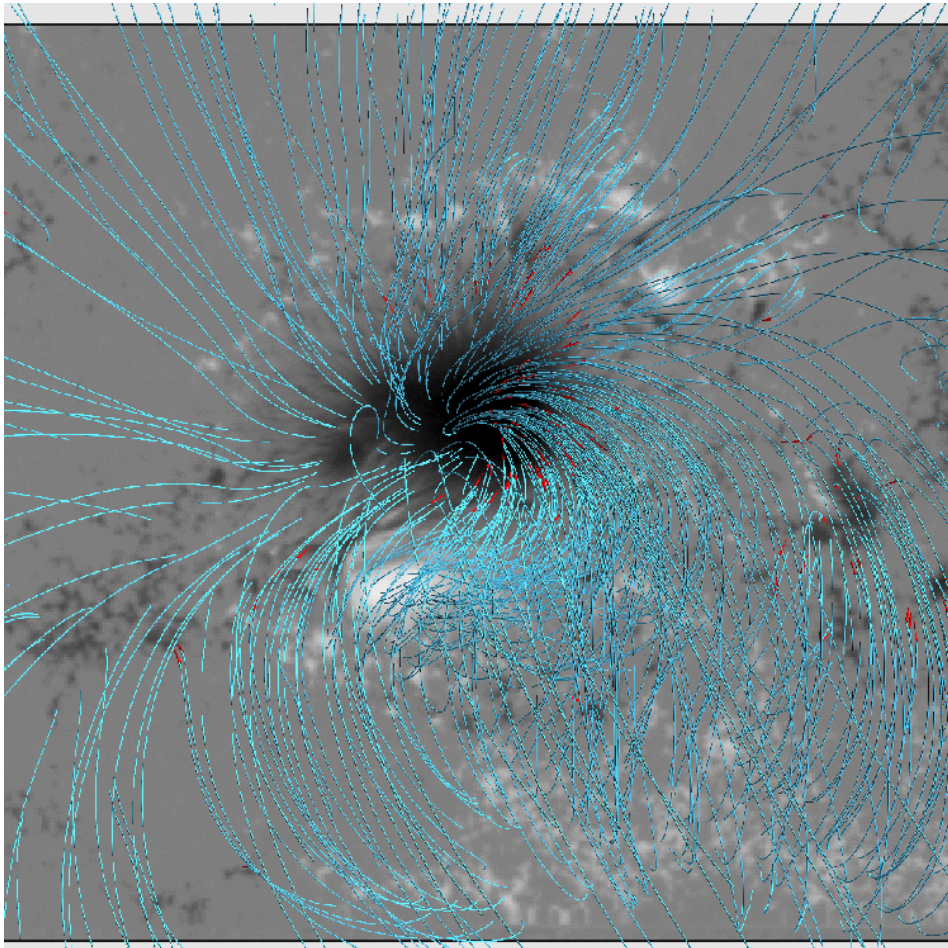




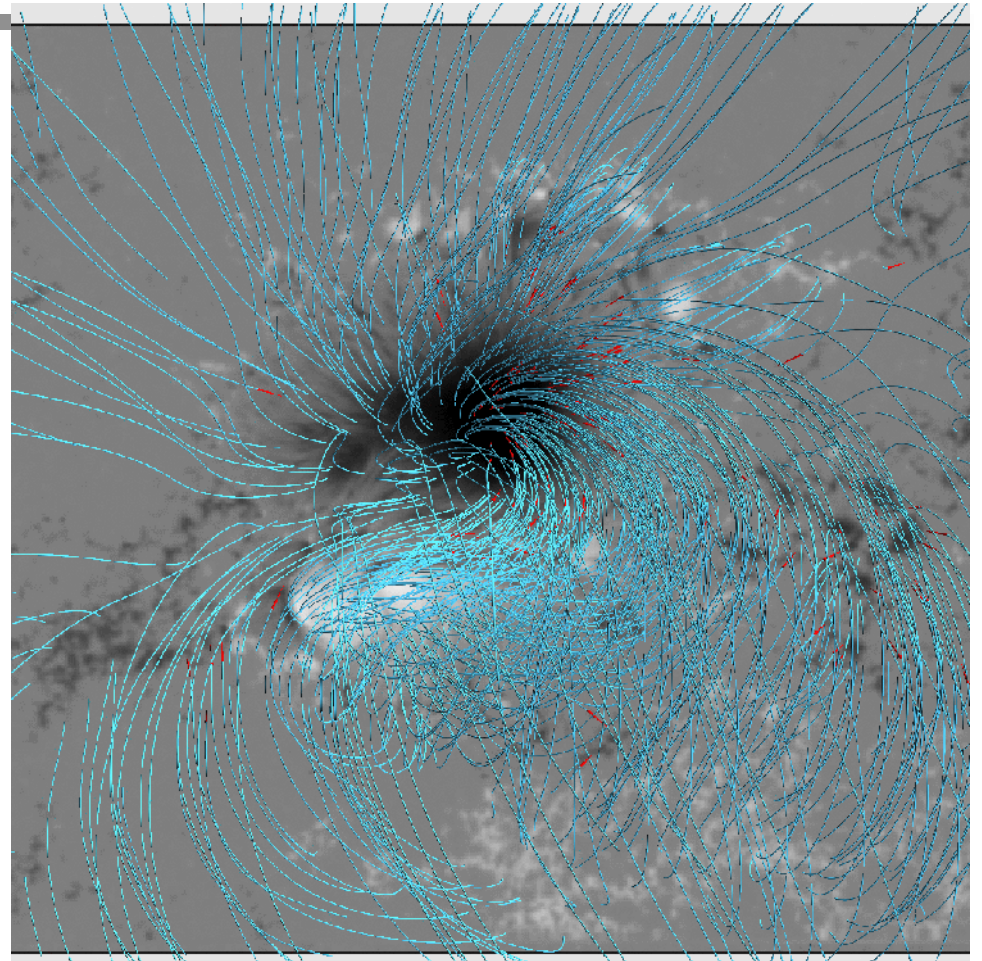
2006_12_11 17:00 UT



2006_12_12 20:30 UT

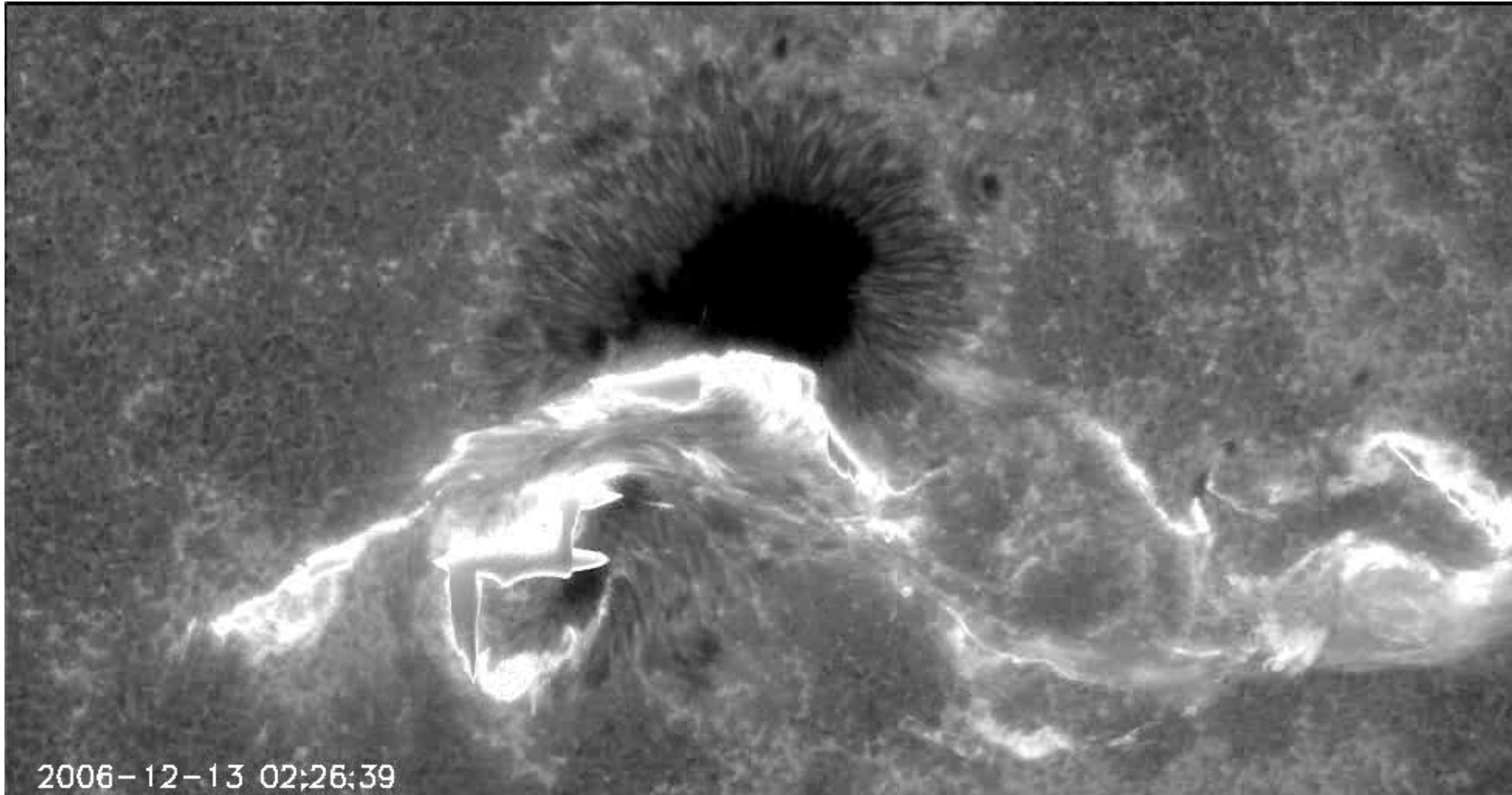


2006_12_11 17:00 UT



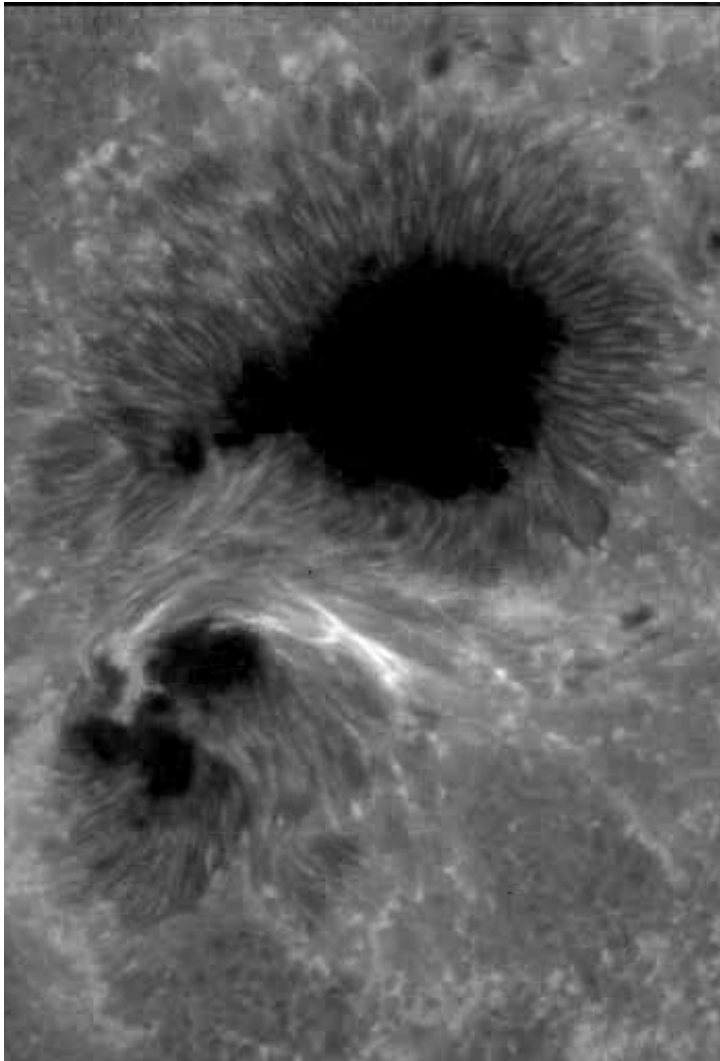
2006_12_12 03:50 UT

トリガ問題の解決には徹底的なプリフレアイ ベントの解明が必要

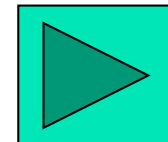
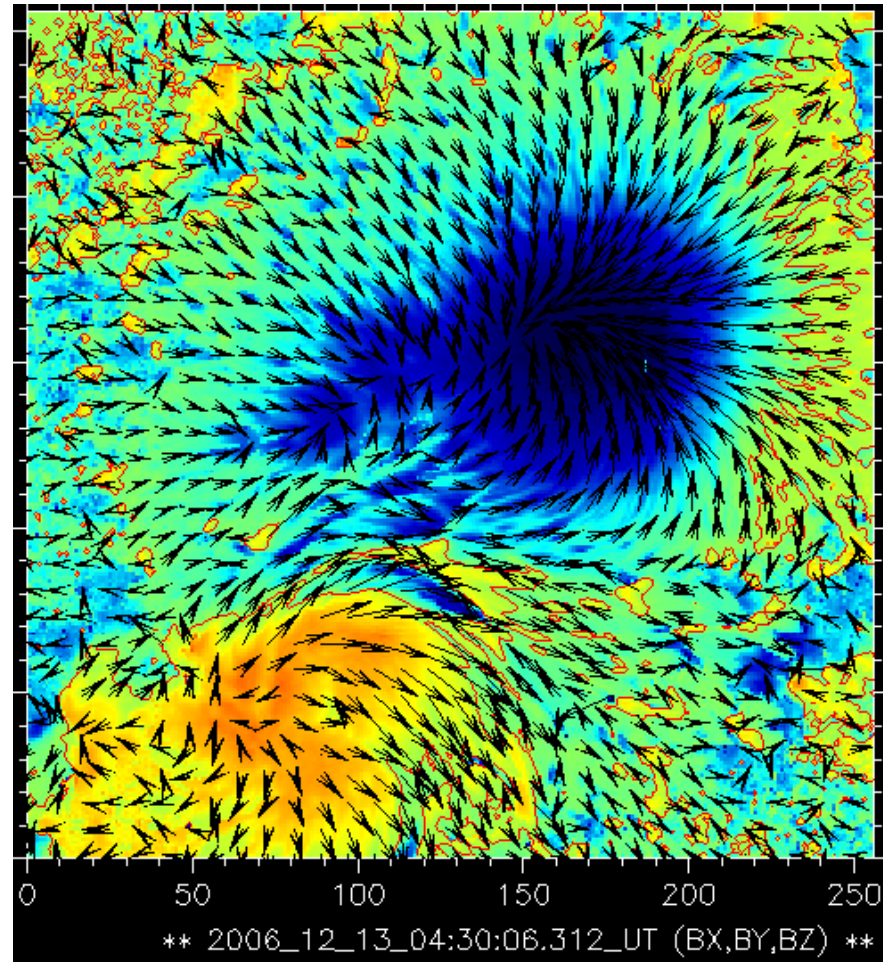


Hinode/SOT

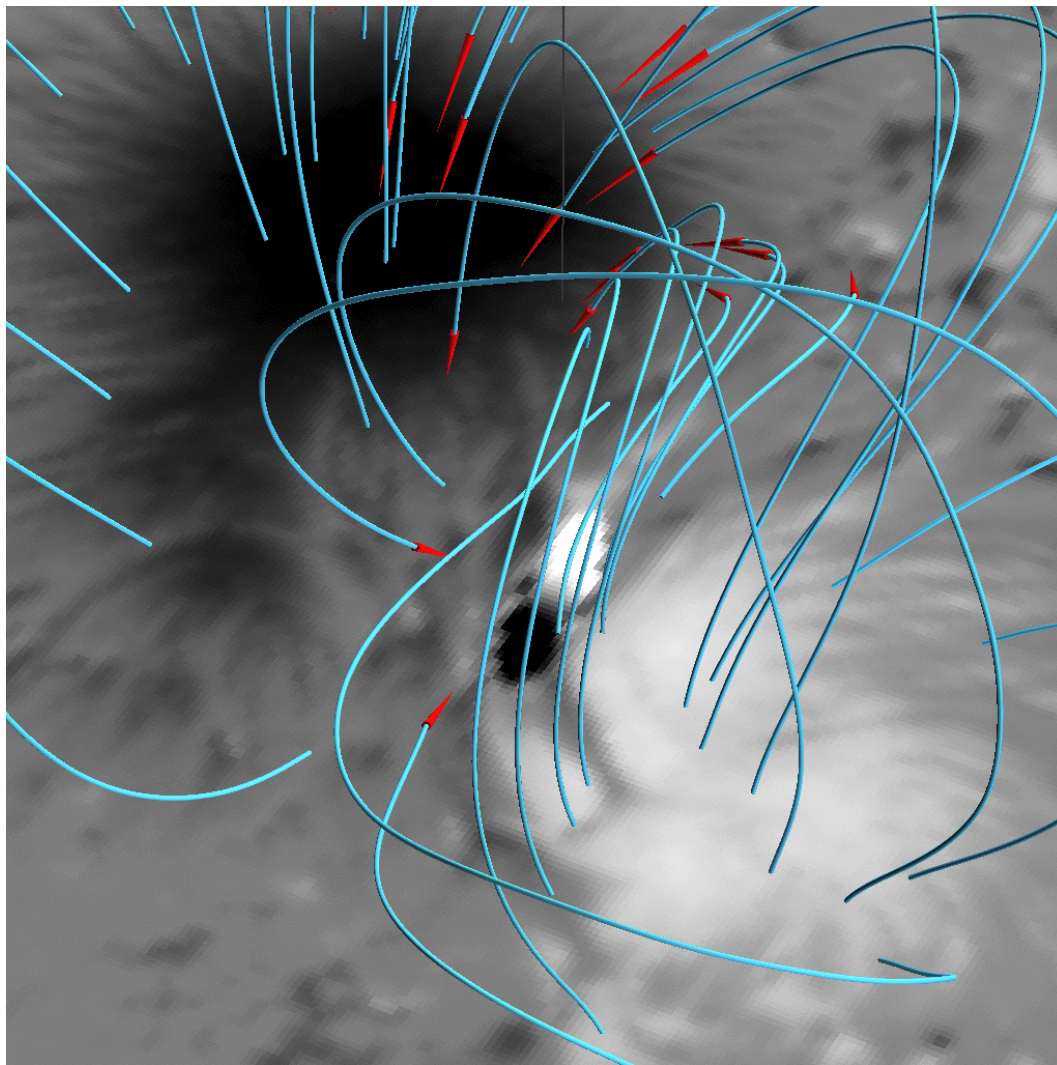
pre-flare brightening and magnetic field



2006.12.13 01:42:37



データ駆動モデルへの挑戦

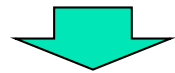


太陽表面流速・電場解析の精緻化

- LCT
- 誘導方程式逆問題

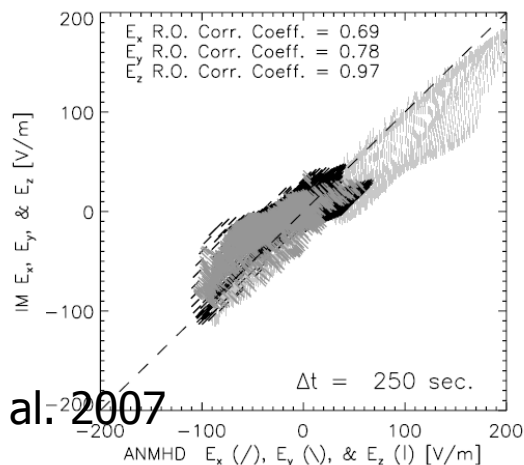
Kusano et al. 2002

$$\frac{\partial B_z}{\partial t} = [\nabla \times (\mathbf{V} \times \mathbf{B})]_z$$

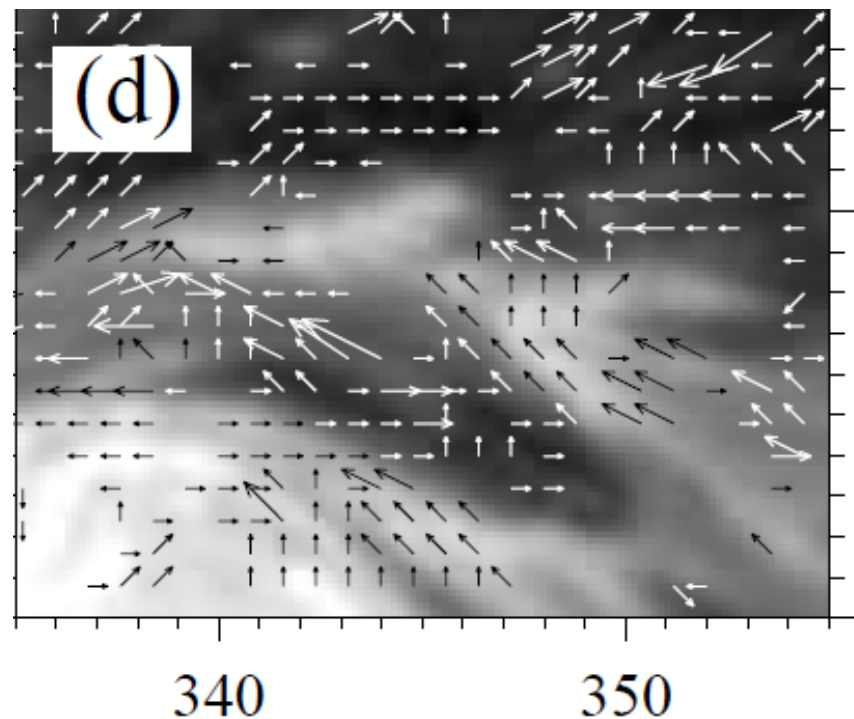
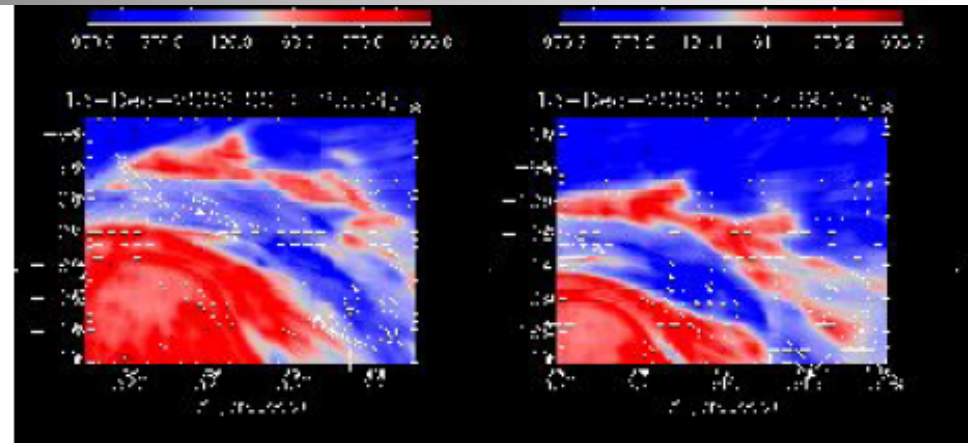


$$\frac{\partial \mathbf{B}}{\partial t} = \nabla \times (\mathbf{V} \times \mathbf{B})$$

∂_z が必要
Fisher et al. 2010

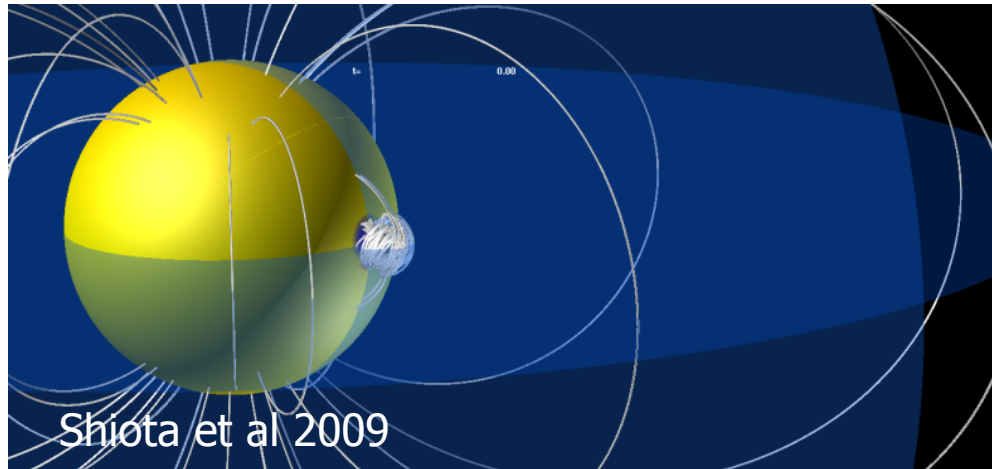


Welsch et al. 2007

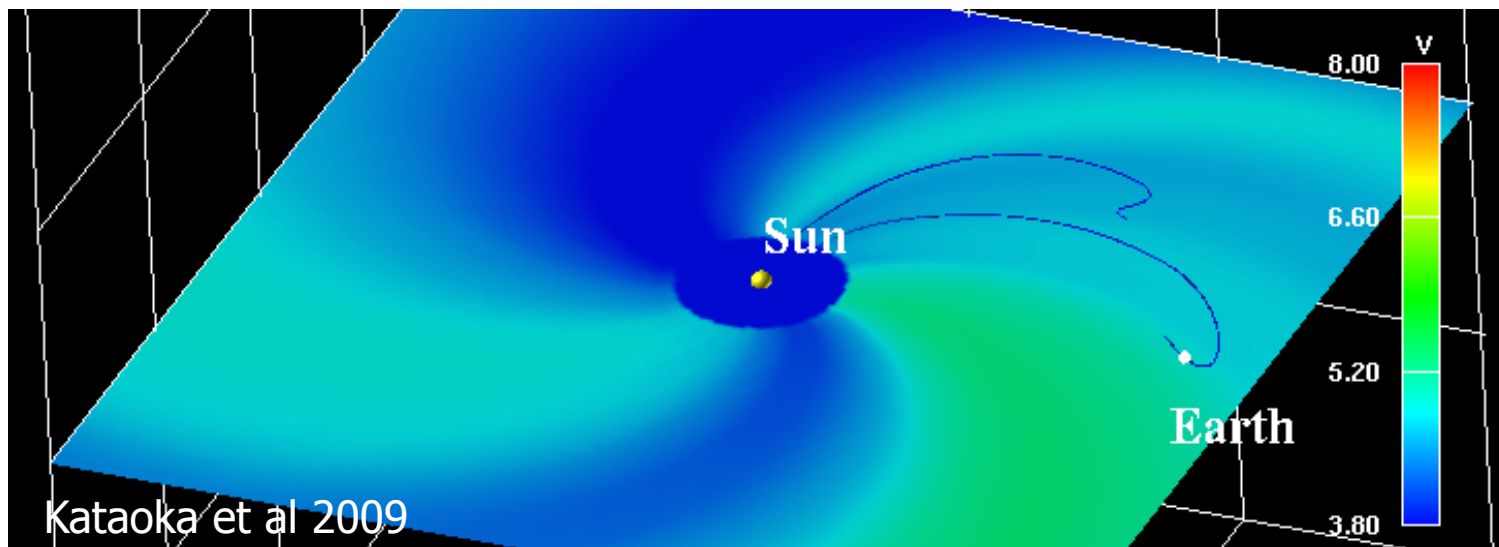


山本さんから提供 2009 Hinode-3

宇宙天気モデルへの展開



- 太陽風モデル
 - コロナ加熱の物理として面白い。
- CME形成モデル
 - 非線形MHDとして面白い。
- CME伝播モデル
 - 宇宙天気にとっては必要。



2008-01-01 06:00:00

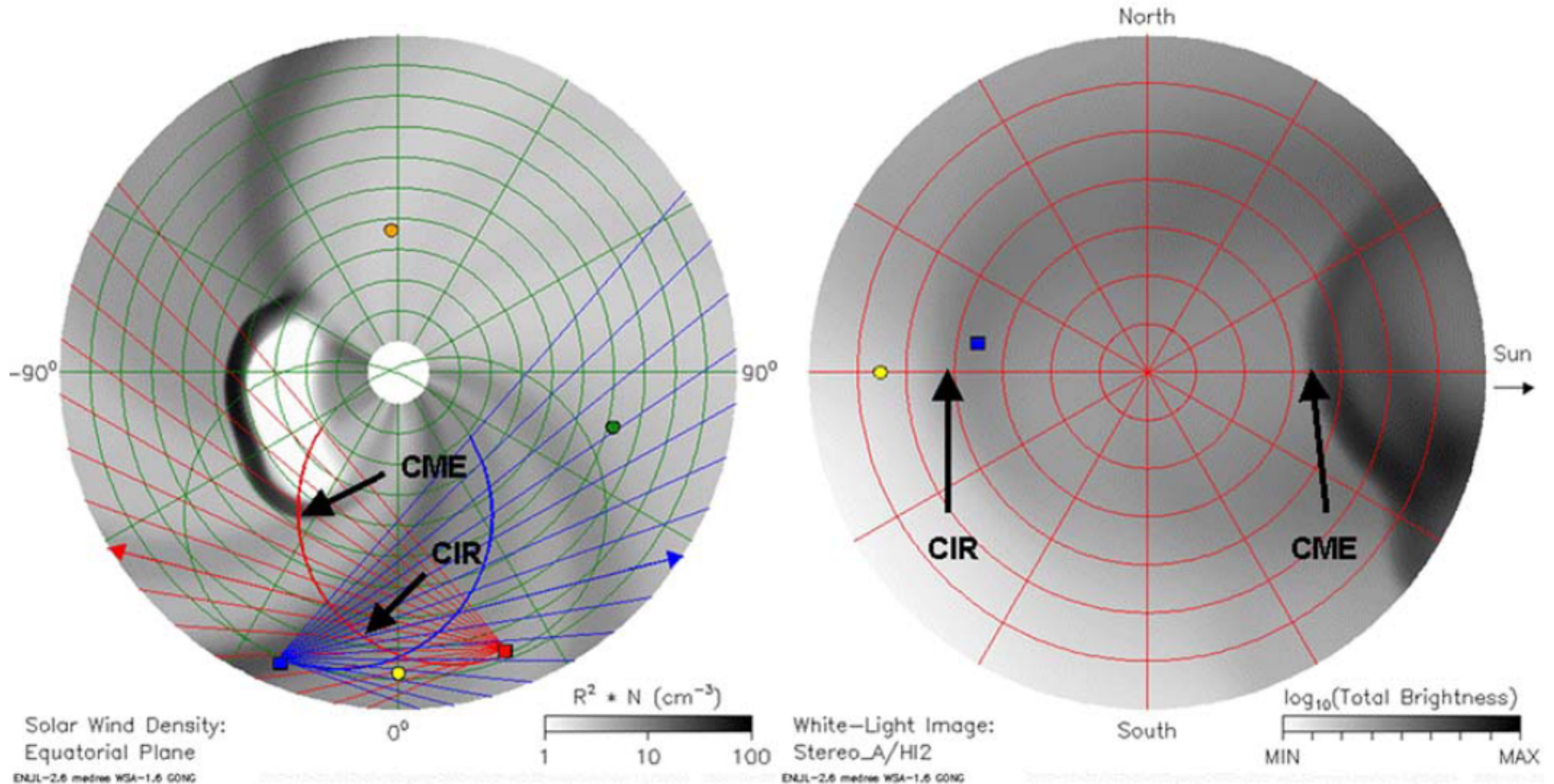
2007-12-31 +1.25 days

2008-01-01 06:00:00

2007-12-31 +1.25 days

● Mercury ● Venus ● Earth
■ Messenger ■ Stereo_A ■ Stereo_B

● Mercury ● Venus ● Earth
■ Messenger ■ Stereo_A ■ Stereo_B



まとめ

- 予測研究は応用のみならず科学的にも重要。
- フレア発生予測(学習アルゴリズム、物理アルゴリズム、MHDモデル)は何れも発達途上。
- シミュレーションと観測の同化モデル
 - 平衡モデルの改善(NLFFモデルは限界あり。彩層モデルの必要性)
 - トリガプロセスの解明
 - プレフレアイベントの徹底的な解明(高時間高空間分解データ)
 - 速度場・電場の同化手法改善(ただし、ひのででまだまだできるはず。)
 - “Vulnerability of Active Region”の定量化による予測をやってみたい。